



دانشگاه صنعتی شاهرود

دانشکده فیزیک

پایان نامه فیزیک کارشناسی ارشد

نانو فیزیک

ترابرد الکترونی در یک سیم کوانتومی تحت تابش الکترومغناطیس

نگارش

بهزاد کریم مسلک

استاد راهنما

آقای دکتر سعید حسامی پیله رود

بهمن ۱۳۹۲

بِسْمِ اللَّهِ الرَّحْمَنِ الرَّحِيمِ

تشکر و قدردانی :

بدینوسیله از خانواده گرامیم و بخصوص همسرم که همیشه مشوق و پشتیبان من در تمام مراحل زندگیم بوده و بدون ممانعت از انجام خواسته هایم همواره همراه من بوده اند نیز در این مجال از همکاران و بخصوص اعضای هیات مدیره شرکت تی ان تی ایران قدردانی می نمایم که در به پایان رساندن این دوره آموزشی حمایت های بی دریغی انجام دادند در انتها از استاد گرانقدر جناب آقای سعید حسامی پیله رود قدردانی می نمایم چرا که ایشان با صبر و بردباری مثال زدنی و راهنمایی های بجا و موثر عنصر اصلی در به پایان رساندن این اثر بوده اند .

چکیده :

کاربردهای روز افزون نانو سیم ها در صنایع اپتو الکترونیک جهت ساخت لیزرهای نیمه هادی ،
حسگرهای فوق العاده سریع ، ساخت موادی پایدار با خواص فیزیکی و شیمیایی ویژه ، جهت
جوابگویی روز افزون به صنعت در حوزه های گوناگون ما را بر آن می دارد تا به دنبال دیدگاه
و نظریه جامع نظری در این حوزه باشیم تا از طرفی بتوانیم به توصیف پدیده های اتفاق افتاده در
حوزه تجربی دست یابیم و از طرف دیگر به بسط این حوزه (تجربی) برای یافتن امکانات و افق-
های جدید مبادرت ورزیم . می دانیم که مهمترین مسئله در شناخت خواص فیزیکی یک ماده نیم-
رسانا مسئله بررسی ترابرد الکترونی آن می باشد ، ما در این مبحث به مسئله ترابرد الکترون
در یک نانوسیم تحت تابش الکترومغناطیسی می پردازیم ، امید است که موضوع این پایان نامه
افق ها و دیدگاههای جدیدی پیش روی ما قرار دهد .

کلید واژه ها :

نانو سیم – چاه کوانتومی – جذب الکترومغناطیسی – گالیم آرسناید – ماتریس چگالی – میدان لیزری

تراهرتز - اثرات کوانتتش

فهرست مطالب

ت.....	۱-۱	لیست اشکال
ث.....	۱-۲	لیست جداول
۲.....	۱-۳	مقدمه
	۲	نانو ساختارهای نیمه رسانا
۱۲.....	۲-۱	نیمرساناها
۱۴.....	۲-۲	نیم رساناها در ابعاد پائین
۱۹.....	۲-۳	خواص الکترونیکی نیمرساناها
	۳	بررسی نظری جذب تابش در نیمرساناها
۲۶.....	۳-۱	انواع روشهای محاسبه رسانایی در نیمرساناها
۲۸.....	۳-۲	روش Density Matrix
	۴	رسانندگی الکترونها در نانوسیم نیمرسانا تحت اثر تابش الکترومغناطیسی
۴۶.....	۴-۱	بدست آوردن حالت‌های الکترونی تابع موج
۵۵.....	۴-۲	Density Matrix
۶۰.....	۴-۳	رسانندگی
۶۷.....	۴-۴	محاسبات عددی
	۵	نتایج
۷۲.....	۵-۱	مقدمه
۷۳.....	۵-۲	نتایج
۷۷.....	۵-۳	بحث در نتیجه
۷۸.....	۵-۴	پیشنهاد برای ادامه کار بعدی
۷۹.....		مراجع
۸۱.....		پیوست ها

شکل (۱-۱) چاپ صفحه اول کتاب "داستان دو شهر" اثر چارلز دیکنز به روش لیتوگرافی پرتو

الکترونی توسط تام نیومن ۶

شکل (۱-۲) سمت راست : آگهی آی بی ام که از اتم های زنون ساخته شده است. سمت چپ : باروی

الکترونی، این نگاره ها گام های پی در پی در آفرینش بارویی گرد از اتمهای آهن بر صفحه مس ، را

نشان می دهد که گروه آی بی ام به رهبری دان ایگلر ساخته اند ۶

شکل (۱-۳) جام لیکورگوس که در موزه بریتانیا در شهر لندن نگهداری می شود و قدمت آن به دو

هزار سال قبل بازمی گردد ، شیشه این جام که از مخلوط کربنات کلسیم و اکسید کلسیم تشکیل شده است

حاوی نانو ذرات نقره و طلا می باشد ، این نانو ذرات باعث می شوند که طیف رنگ نور بازتابیده از

این جام از سبز تا قرمز تیره تغییر یابد ۷

شکل (۲-۱) نشان دهنده مسیر حرکت براونی یک ذره درون مخلوط گازی می باشد، منشا این نوع

حرکت ذره برخورد های متوالی آن با ذرات دیگر می باشد ۱۵

شکل (۲-۲) سمت راست نمایانگر ابعاد یک میکروچیپ بوده، فواصل نوعی کمتر از میکرومتر می

باشند سمت چپ روش برآورد طول فاز همدوسی دو موج تداخلی را نشان می دهد این فاصله در حد

نانومتری باشد ۱۶

شکل (۲-۳) (a) نمایانگر چگالی حالات الکترونی بر حسب انرژی در یک ماده محتوی نانو نقطه ها می-

باشد،

(b) نمایانگر چگالی حالات الکترونی بر حسب انرژی در یک ماده محتوی نانو سیم ها می باشد،

(c) نمایانگر چگالی حالات الکترونی بر حسب انرژی در یک نانو صفحه می باشد،

(d) نمایانگر چگالی حالات الکترونی بر حسب انرژی در یک ماده معمولی می باشد ۱۸

شکل (۲-۴) (a) نمایانگر مسیر حرکت الکترون در رژیم دیفیوز ، (b) نمایانگر مسیر حرکت الکترون

- در رژیم شبه بالستیک و (c) نمایانگر مسیر حرکت الکترون در رژیم بالستیک می باشد ۲۲
- شکل (۵-۱) نمودار تغییرات رسانش بر حسب دامنه میدان الکتریکی آزمون در جذب تابشی با دامنه ثابت و فرکانس متغیر..... ۷۴
- شکل (۵-۲) تغییر در محل و ارتفاع قله تشدید در جذب با تغییر در فرکانس میدان آزمون ۷۵
- شکل (۵-۳) وابستگی میزان جذب تابش به دامنه میدان تابشی..... ۷۵
- شکل (۵-۴) مقایسه نحوه تغییرات جذب با دامنه تابش در فرکانس های متفاوت..... ۷۶
- شکل (۵-۵) اثر جذب تابش با دامنه بزرگ در ترابرد الکترونی..... ۷۷

لیست جداول

- جدول ۵-۱ : بعضی از مقادیر کمیت های فیزیکی مربوط به گالیم آرسناید در یک شبه ساختار دو بعدی ۷۳

فصل اول

مقدمه ۲

فصل اول

مقدمه

دنیای شگفت انگیز نانو همچنان رو به گسترش است و به جرات می توان گفت که تمام بخش های فناوری از این کشف تاثیر پذیرفته است ولی سرآغاز این فن آوری از کجا آمده است؟ در یونان باستان [19] ، مردم و به خصوص دانشمندان براین باور بودند که مواد را می توان آن قدر به اجزای کوچک تقسیم کرد تا به ذرات خرد ناشدنی رسید که بنیان مواد را تشکیل می دهند . شاید بتوان دموکریتوس فیلسوف یونانی را پدر فناوری و علوم نانو دانست، چرا که وی در حدود چهارصد سال قبل از میلاد مسیح نخستین بار واژه اتم را که در زبان یونانی به معنی تقسیم نشدنی است ، برای توصیف ذرات سازنده مواد به کار برد . نانو فن آوری واژه ای است کلی که به تمام فن آوری های پیش رفته در عرصه کار با مقیاس نانو اطلاق می شود . معمولا منظور از مقیاس نانو ، ابعادی در حدود یک تا صد نانومتر^۱ است (یک نانو متر یک میلیاردم متر است) ، واژه فن آوری نانو اولین بار توسط "نوریوتاینگوچی"^۲ استاد دانشگاه علوم توکیو در سال ۱۹۷۴ بر زبان ها جاری شد . او این واژه را برای توصیف ساخت مواد (وسایل) دقیقی که اندازه ابعاد آنها در حد نانومتر است، به کار برد . در سال ۱۹۸۶ این واژه توسط اریک درکسلر^۳ در کتابی تحت عنوان موتورآفرینش ، آغاز دوران نانوفن آوری بازآفرینی و تعریف مجدد شد . وی این واژه را به شکل عمیق تری در رساله دکتری خود بررسی کرد و بعدها آن را در کتابی تحت عنوان نانوسیستم ها، ماشینهای مولکولی ، چگونگی ساخت و محاسبات آنها را توسعه

- 1 Nanometers
- 2 Nurio Taiganochi
- 3 Eric Derksler

داد . یک نانو متر یک هزارم میکرون است و اگر بخواهیم احساس فیزیکی نسبت به آن داشته باشیم ، می توان گفت که یک نانو متر ۸۰۰۰:۱ قطر موی انسان است . اما این تعریف نانو مقیاس نمی تواند مقایسه درستی باشد ، چرا که ضخامت موی انسان بسته به خصوصیات فردی هر انسان از چند ده میکرومتر تا چند صد میکرومتر متغیر است . یک نانومتر برابر قطر ده اتم هیدروژن یا پنج اتم سیلیسیوم است . درک این موضوع برای افراد معمولی نیز راحتتر است علیرغم اینکه درک اندازه یک اتم برای افراد غیر علمی ساده نیست ، با این تشابه مشخص می شود که نانو فن آوری عبارت از هنر دست کاری مواد در مقیاس اتمی یا مولکولی و به خصوص ساخت قطعات و لوازم نانو- سکویی (مانند نانوروباتها) می باشد . از این رو نانو فناوری بر پایه دست کاری تک تک اتم ها و مولکولها استوار است ، بدین منظور که بتوان ساختاری پیچیده را با خصوصیات اتمی تولید کرد . تعریف دیگری^۴ از فن آوری نانو عبارت است از : توسعه و استفاده از ادوات و قطعاتی که اندازه آنها تنها چند نانومتر است ؛ تحقیق روی قطعات و ادوات بسیار کوچک که خواصشان به خواص الکترونیکی این قطعات وابسته است و خواص الکتریکی آنها احتمالاً متأثر از حرکت تعداد معدودی الکترون در طی عملکرد قطعه است . این ادوات سریعتر از ادوات بزرگ عمل می کنند .

در آخر می توان اشاره به تعریفی که موسسه مشوقی نانو فناوری (امریکا)^۵ برای فناوری نانو دارد ، بکنیم :

۱- توسعه فناوری و تحقیقات در سطوح اتمی، مولکولی یا ماکرو ملکولی در مقیاس اندازه ای ۱ تا ۱۰۰ نانومتر.

4 MIT Definition

5 NNI/National Nanotechnology Initiativ

۲- خلق و استفاده از ساختارها و ابزارها و سیستم هایی که بخاطر اندازه کوچک یا حد میانه آنها، خواص و عملکرد نوینی دارند .

۳- توانایی کنترل یا دستکاری مواد در سطح اتمی .

زمانی که مواد در مقیاس نانو مطالعه و بررسی می شوند ، واکنش های و رفتار آنها در مقایسه با حالتی که مطالعه در سطح مولکولی انجام می شوند کاملا متفاوت است ؛ چرا که در این قلمرو خصوصیات فیزیکی مواد تغییر می کند. تفاوت در قلمرو نانو به اندازه ای است که حتی رنگ، نقطه ذوب، خصوصیات شیمیایی و غیره مواد در خارج از این محدوده کاملا متفاوت است.

آغازی نو

There's Plenty of Rooms at the Bottom...

آنچه می خواهم درباره اش گفتگو کنم ، پرسمان دستکاری و زیر فرمان درآوردن چیزها در مقیاس خرد است ... در آن زیر جهانی است که ریزی گیج کننده ای دارد. در سال ۲۰۰۰ ، هنگامی که مردمان به گذشته و به زمان ما بنگرند ، در شگفت خواهند شد از اینکه چرا تا سال ۱۹۶۰ هیچ کس در این راستا کاری انجام نداد .

متن بالا [2,6] بخشی از سخنرانی ریچارد فیلیپس فاینمن^۶ می باشد که در ۲۹ دسامبر ۱۹۵۹ در نشست سالانه انجمن فیزیک آمریکا در موسسه فناوری کالیفرنیا^۷، انجام داد، عنوان سخنرانی "در آن زیرها، جای بسیار هست"، بینش ژرفی از آینده ، پیش رو نهاد. نام دیگر این گفتگو فراخوان زیادی به میدان نوینی

6 Richard Philips Feynman

7 The California Institute of Technology

در فیزیک بود و نشانگر آغاز چیزی بود که فن آوری نانو خوانده می شود. فاینمن در آن گردهمایی بر آن پای می فشرد که چنین تلاشی نیاز به فیزیک نوینی ندارد. نیز در آنجا وعده پرداخت دو جایزه نقدی هزار دلاری از طرف ایشان به عنوان، "نخستین کسی که موتور الکتریکی بسازد که حجمش $1/64$ اینچ مکعب باشد" و "برای نخستین کسی که اطلاعات روی یک برگ کتاب را $1/250000$ بار کوچک سازد." ساخت موتور با آن ابعاد همانطور که خودش فکر می کرد نیاز به هیچ پیشرفت فنی نوینی نداشت و آقای مک للان⁸ کمتر از یکسال جایزه را دریافت کرد.

۲۵ سال سپری شد تا تام نیومن⁹ دانش آموخته استنفورد با سود جستن از روشی به نام لیتوگرافی پرتو الکترون¹⁰ گرت هارا از روی سیلیکون کنده کاری کند او پس از دفاع از موضوع پایان نامه خود دستگاه رامجدا برنامه ریزی کرد تا بتواند هر حرف را به اندازه طول پنجاه اتم کوچک کند و بدینوسیله اولین صفحه از کتاب داستان دو شهر نوشته چارلز دیکنز¹¹ را روی سطح سیلیکونی بنگارد ولی این ساده ترین کار بود چرا که که دشوارترین قسمت یافتن آن نوشته روی آن سطح بود. ایده دیگر فاینمن از زبان او چنین بود:

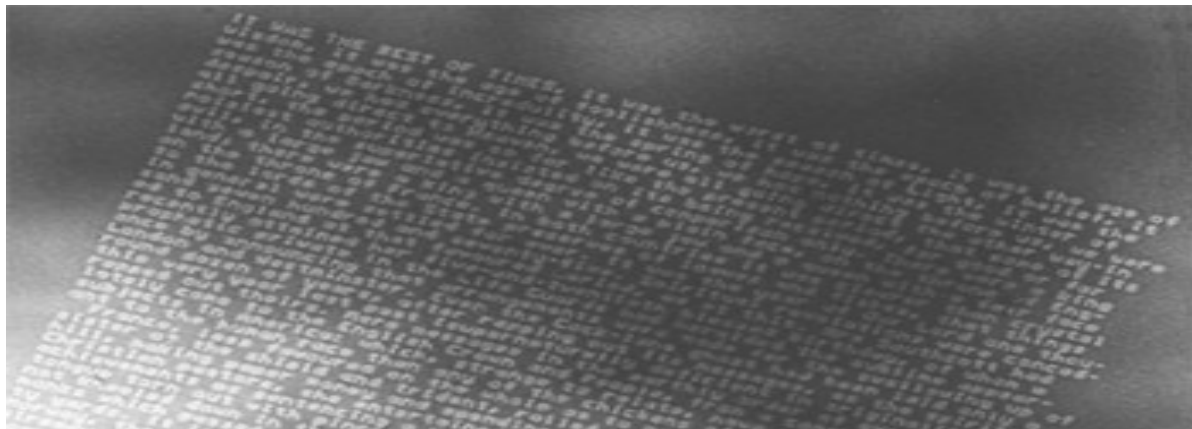
به طور کلی گمان می کنم که بشود فیزیکدان هر ماده شیمیایی را که شیمیدان بنویسد، سر هم

کند. چگونه؟ اتم ها را هر کجا که شیمیدان می گوید بگذارید و بدین سان ماده ساخته می شود.

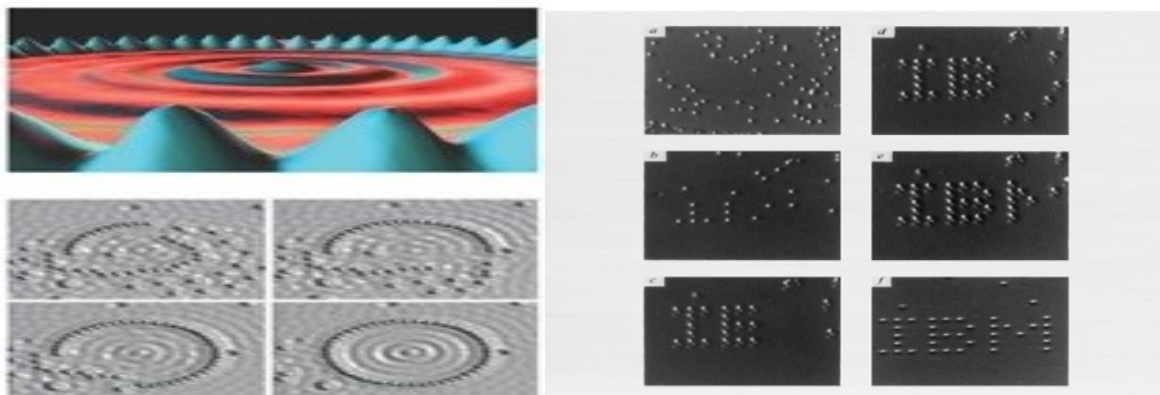
اندکی بعد در ۱۹۸۹ دونالد ایگلر¹² با ساخت میکروسکوپ تونلی روبشی پایه محکمی برای ورود به

این عرصه را بنیاد گذاشتند. دهه نود آغاز تعبیر رویای فاینمن بود چرا که فناوریهای جدید در حوزه نانو

- | | |
|----|---------------------|
| 8 | Mc Lelan |
| 9 | Tom Numann |
| 10 | Electron Litography |
| 11 | Charles Dickens |
| 12 | Donald Iglar |



شکل (۱-۱) چاپ صفحه اول کتاب "داستان دو شهر" اثر چارلز دیکنز به روش لیتوگرافی پرتو الکترونی توسط تام نیومن



شکل (۱-۲) سمت راست : آگهی آی بی ام که از اتم های زنون ساخته شده است. سمت چپ : باروی

الکترونی، این نگاره ها گام های پی در پی در آفرینش بارویی گرد از اتمهای آهن بر صفحه مس ،

خود موجب توسعه بیشتر این عرصه نوین علمی بودند. ولی آیا این همه داستان "نانو" بود؟ مسلماً نه! چرا که مشخص شده شیشه گران رومی [3] به مزیت استفاده از شیشه های حاوی ذرات بسیار ریزی پی برده بودند یک اثر باقیمانده از این دوران که جام "لیکورگس"^{۱۳} "نام دارد [4]، در موزه بریتانیا، در



شکل (۱-۳) جام لیکورگوس که در موزه بریتانیا در شهر لندن نگهداری می شود و قدمت آن به دو

هزار سال قبل بازمی گردد ، شیشه این جام که از مخلوط کربنات کلسیم و اکسید کلسیم تشکیل شده است حاوی نانو ذرات نقره و طلا می باشد ، این نانو ذرات باعث می شوند که طیف رنگ نور

شهر لندن نگهداری می شود . شیشه این جام که منقش به تصویری از مرگ شاه Lycurgus است از

مخلوط کربنات کلسیم و اکسید کلسیم تشکیل شده و نیز حاوی نانو ذرات نقره و طلا است . هنگامی که

منبع نور درون جام قرار داده می شود رنگ آن از سبز تا قرمز تیره تغییر می کند . تنوع زیاد رنگ

های زیبای پنجره های کلیساهای جامع مربوط به قرون وسطی نیز به سبب وجود نانو ذرات فلزی درون

شیشه آنهاست .

نانو فن آوری روز

نانو فن آوری هم اکنون در تمام جنبه های علم ، فن آوری ، صنعت رسوخ کرده است حال جالب خواهد

بود اشاره ای به کاربردهای خاص این فناوری بخصوص مرتبط با موضوع مورد مطالعه ما یعنی " نانو

سیم ها" در حوزه صنعت بیندازیم. شبهه نانوسیم های یک بعدی دارای خواص منحصر به فرد الکتریکی و الکترونیکی، ترموالکتریکی، نوری، مغناطیسی و شیمیایی متفاوتی نسبت به همتایان غیر نانویی خود دارند، خواص نانوسیم ها بسیار تحت تاثیر مورفولوژی ابعاد / ضخامت نانوسیم دارد که این امر پهنای گاف نواری band gap و چگالی حاملهای بار را تحت تاثیر خود قرار داده است، این خصوصیات نانوسیمها موجب استفاده گسترده از آنها در دستگاههای الکترونیک، ترانزیستور، FET، و گیت های منطقی، ساخت ابرشبکه ها حافظه الکترونیکی، سیستم خنک کننده ترموالکتریک ساخته شده از نانوسیم های فلزی ساخته شده، اجزای سیستمهای مختلف اپتوالکترونیکی، استفاده از آرایه ای از نانو سیمهای مغناطیسی به عنوان جایگزین حافظه های الکترونیکی رایج که دارای مزیت کم مصرف بودند انرژی و سرعت پردازش بالا نسبت به اسلاف خود دارد، شده است. همچنین نانوسیم ها پتانسیل بالایی را برای کاربرد بعنوان اجزای حسگر ها دارند نیز کاربردهایی از آنها در حوزه زیست پزشکی گزارش شده است. هم اکنون تحقیقات گسترده ای در زمینه های بهره گیری از نانوسیم ها و نانو لوله ها بخاطر خواص منحصر بفرد آنها در طیف متنوعی از کاربردها در جریان است، نانوسیم ها در دو بعد فضایی محدود شده اند ولی در یک بعد محدودیتی از نظر ابعاد ندارند، بنابراین خاصیت هدایت الکتریکی آنها از طرفی بسیار متفاوت از حالت کپه ای آنها و در بعد دیگر مشابه آن خواهد بود بنابراین هدایت الکتریکی نانوسیم ها هم از طریق رسانش حالت کپه ای آنها و هم از طریق پدیده تونلی خواهد بود از این رو بدلیل چگالی بالای حالتهای الکترونی، وابستگی پهنای باند انرژی به ضخامت آن، توانایی پراکندگی سطحی الکترونها و فونونها، افزایش یافتن انرژی بستگی الکترون تحریک شده، بالابودن قابل توجه نسبت سطح به حجم آنها، در اینصورت نانو سیم های فلزی و نیمرسانا نسبت به حالت بزرگ ساختار خود می توانند خواص

الکتريکی، مغناطیسی، اپتیکی، ترموالکتريکی و شیمیایی منحصر بفردي از خود نمایش می دهند آرایش نانوسیم های مغناطیسی اخیرا مورد توجه زیادی قرار گرفته است تا بتوان آنها را برای ضبط مغناطیسی مورد استفاده قرار داد، نانو سیم هایی که معرفی گردیدند در منافذ آلومینا بصورت بارگذاری الکتريکی (الکترو دیپازیشن) جایگزیده می شوند و توان تولید حافظه های مغناطیسی برابر با یکصد گیگابایت بر اینچ مربع را دارا می باشند، آنها میدان مخالفی تولید می کنند که متناسب با عکس قطر منافذ می باشد [۳].

فصل دوم

نانو ساختارهای نیمه رسانا

۱۲.....	نیم رساناها	۲-۱
۱۴.....	نیم رساناها در ابعاد پائین	۲-۲
۱۹.....	خواص الکترونیکی نیم رساناها	۲-۳

نیم رساناها

مواد جامد در سه دسته [5] : نارساناها، نیم رساناها و رساناها گروه بندی می شوند . نارساناها مانند شیشه و کوارتز دارای رسانندگی خیلی پائین در حدود 10^{-18} تا 10^{-8} s/m می باشند ؛ و رساناهایی نظیر آلومینیوم و نقره دارای رسانندگی بالا بطور نمونه از 10^6 تا 10^4 s/m هستند . نیم رساناها دارای رسانندگی بین نارساناها و رساناها هستند . رسانندگی یک نیم رسانا بطور کلی نسبت به دما ، روشنایی ، میدان مغناطیسی و مقدار دقیق ناخالصی اتمها حساسیت دارد . این حساسیت در رسانندگی نیم رساناها را به یکی از مهمترین مواد برای کاربردهای الکترونیکی تبدیل می کند .

نوارهای انرژی

برای یک اتم منفرد ، الکترونها اتم فقط می توانند دارای ترازهای انرژی مجزا باشند ؛ حال اگر دو اتم یکسان را در بررسی کنیم ، وقتی آنها خیلی از یکدیگر دور هستند ، ترازهای انرژی مجاز برای یک عدد کوانتومی اصلی معین شامل یک سطح تبهگن دوگانه می باشد یعنی ضمن آنکه دو اتم به یکدیگر نزدیک می شوند ، تراز انرژی تبهگن دوگانه در اثر برهم کنش بین اتمها به دو تراز تقسیم خواهد شد . وقتی N اتم را برای تشکیل بلور به هم نزدیک می کنیم ، تراز انرژی تبهگن N تایی بخاطر برهم کنش اتمی به N تراز ، اما به فواصل خیلی نزدیک تقسیم می شود ، این امر به تراز انرژی اساسا پیوسته منجر می شود، در ادامه کاهش فواصل بین اتمی تا فواصل اتمی در بلورها، مثلا برای سیلیسیوم با ثابت شبکه $5,43$ آنگستروم، این نوار مجددا به دو نوار تقسیم می شود . این نوارها توسط ناحیه ای با انرژی های خاص که الکترونها جامدات نمی توانند دارای آن انرژیها باشند از یکدیگر جدا می شوند . این ناحیه

۱۴ واحد رسانندگی "زیمنس" معادل معکوس "اهم" واحد مقاومت الکتریکی می باشد

15 Energy Bands

گاف نواری^{۱۶} نامیده می شود . نوار بالاتر نوار رسانش در حالی که نوار پائینی نوار ظرفیت نامگذاری می شود . در نارساها الکترونهاى ظرفیت بین اتمهای همسایه پیوندهای قوی تشکیل می دهند . این پیوندها به سختی می شکنند و در نتیجه هیچ الکترون آزادی برای شرکت در جریان رسانش وجود ندارد . در عایقها گاف نواری بزرگ بوده و نیز تمام ترازهای انرژی در نوار ظرفیت با الکترونها اشغال شده و تمام سطوح انرژی در نوار رسانش خالی هستند، انرژی گرمایی یا میدان الکتریکی اعمال شده نمی تواند بالاترین الکترونهاى تراز ظرفیت را بهتر از رسانش منتقل کند؛ در نیمرسانا ها پیوندهای اتمی بین اتمهای همسایه بطور متوسط قوی هستند یعنی اندازه گاف نواری از گاف نوار انرژی نارساها کوچکتر می باشد، در نتیجه در اثر ارتعاشات گرمایی چنین پیوندهایی شکسته خواهند شد و یک جفت الکترون آزاد در نوار رسانش و متناظر آن یک حفره^{۱۷} آزاد در نوار ظرفیت تولید خواهد شد ، حال اگر میدان الکتریکی خارجی به قطعه نیمرسانا اعمال شود ، الکترونهاى نوار رسانش و حفره های نوار ظرفیت در اثر اعمال میدان ، برآورد خالصی جابجا شده و الکتریسیسته را هدایت خواهند نمود . در رساناها همچون فلزات نوار رسانش بطور جزئی پر است و یا با نوار ظرفیت روی هم می افتند ، بطوری که هیچ گاف نواری وجود ندارد . در نتیجه بالاترین الکترونهاى واقع در نوار بطور جزئی پر یا الکترونهاى واقع در قسمت بالای نوار ظرفیت با کسب انرژی با منشاء خارجی، مانند میدان الکتریکی اعمال شده به دو سر قطعه فلزی ، می توانند به تراز انرژی مناسب بعدی نقل مکان کنند و بدین سان در رساناها هدایت جریان به سهولت انجام می شود.

16 band gap

۱۷ اثر جمعی الکترونهاى ظرفیت با وجود داشتن یک موقعیت خالی مانند یک "حفره" مجازی نمود خواهد کرد

نیم رساناها در ابعاد پائین

سیستم های مزوسکوپیک^{۱۸}

ممکن است [7] این سوال از ذهن خطور کند که چرا لغت "نانو" برای نمود این حوزه از علم فیزیک بکار رفته است ، در واقع زمانی که ابعاد ذرات در حدود "نانومتر" می باشند رفتار فیزیکی و شیمیایی آنها تا حد زیادی با حالت ماکروسکوپیک همان ماده تفاوت زیادی خواهد داشت ، سر منشاء این تغییر رفتار را می توان با معرفی پارامترهای خاص که بطور اجمال در زیر اشاره ای به آنها می شود بیان کرد . حال در مرحله ای هستیم که بطور کمی و دقیق بتوانیم دنیای نانورا توصیف کنیم، بطور کلی موادی که خصوصیات فیزیکی آنها بدلیل ابعاد کوچکشان با حالت کیه ای همان مواد فرق می کند و این امر بدلیل ظهور بعضی از خواص نانودر آنها می باشد " سیستم های مزوسکوپیک " می گویند ابعاد فیزیکی این سیستمها نوعا بین چند نانومتر تا صد میکرون می باشد ولی مهمترین مسئله بروز رفتار غیر متعارف مواد نسبت به حالت بالک/مجتمع دارد که ناشی از مقدار خاص پارامترهای فیزیکی ویژه ای دارد .

طول موج دو بروی^{۱۹}

$$\lambda_f = 2\pi / k_f = (2\pi / n_s)^{1/2} \quad (2-1)$$

که در آن λ_f طول موج دو بروی، k_f بردار موج دو بروی الکترون، n_s چگالی الکترونها در واحد حجم می باشند .

برای یک نمونه نوعی در محیط آزمایشگاهی خواهیم داشت [5] :

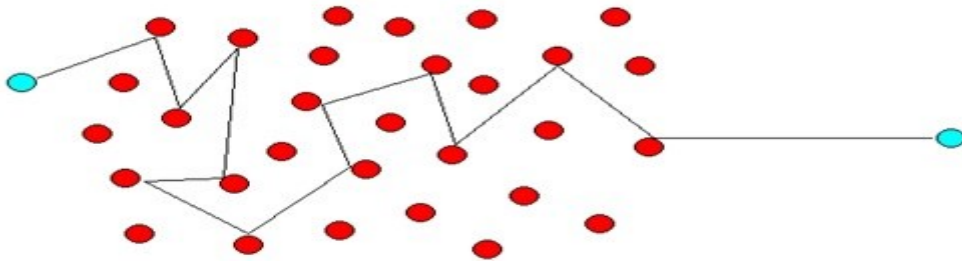
- 18 Mesoscopic Systems .
- 19 Doubraglie wavelength

$$n_s = 5 \cdot 10^{11} / \text{cm}^2 \quad (2-2)$$

$$\lambda_f = 35 \text{ nm} \quad (2-3)$$

در واقع اگر ابعاد ماده کوچکتر از طول موج دوبروی الکترون آزاد باشد جایگزیدگی مشاهده خواهد شد.

طول پویش آزاد میانگین^{۲۰}



شکل (۲-۱) نشان دهنده مسیر حرکت براونی یک ذره درون مخلوط گازی می باشد، منشا این نوع حرکت ذره برخوردهای متوالی آن با ذرات دیگر می باشد .

"طول پویش آزاد میانگین" عبارت است از میانگین فاصله ای است که یک حامل بار بین دو برخورد

متوالی طی می کند .

$$V_f = h k_f / m = \hbar / m (2\pi / n_s)^{1/2} = 3 \cdot 10^7 \text{ cm / s}$$

$$L_m = V_f \tau_m \quad (2-4)$$

که در آن L_m طول پویش آزاد میانگین، V_f سرعت حرکت الکترون و τ_m زمان بین دو برخورد متوالی

می باشد. k_f بردار موج دوبروی الکترون، m جرم الکترون و n_s چگالی الکترونها در واحد حجم

می باشند . برای یک نمونه نوعی خواهیم داشت :

$$n_s = 5 \cdot 10^{11} / \text{cm}^2 \quad \& \quad \tau_m = 100 \text{ ps} \quad (2-5)$$

در نتیجه خواهیم داشت :

$$L_m = 30 \mu\text{m} \quad (2-6)$$

در اثر کم شدن چگالی الکترونی تعداد برخوردهای متوالی بین الکترونها کم خواهد شد ، اگر این فرآیند

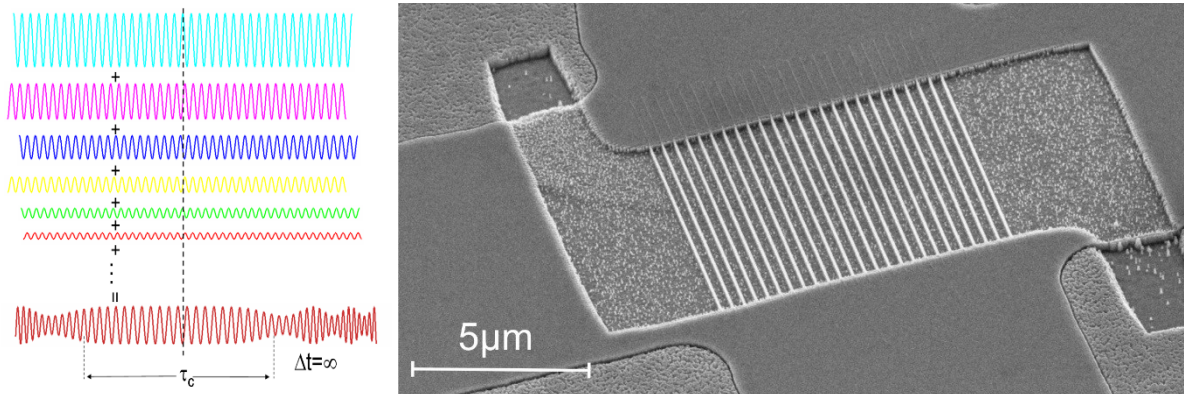
ادامه پیدا کند و ابعاد ذره از طول پویس آزاد میانگین کمتر شود مبنای محاسبه پارامترهای

ماکروسکوپیک مثل مقاومت الکتریکی / رسانندگی و ... با مشکل مواجه خواهند شد .

طول فاز همدوس^{۲۱}

میانگین فاصله ای که یک حامل بار قبل از تغییر قابل ملاحظه فازش در اثر برخورد با حاملهای بار

دیگر اتمهای شبکه طی می کند .



شکل (۲-۲) سمت راست نمایانگر ابعاد یک میکروچیپ بوده ، فواصل نوعی کمتر از میکرومتر می باشند - سمت چپ روش برآورد طول فاز همدوسی دو موج تداخلی را نشان می دهد این فاصله در حد نانومتر می باشد.

$$\lambda_f = 2\pi / k_f = (2\pi / n_s)^{1/2} \quad (2-7)$$

فصل دوم : نانو ساختارهای نیم رسانا

که در آن λ_f طول همدوسی و k_f بردار موج همدوسی و n_s چگالی الکترونها می باشند . بطور مثال برای یک نمونه داریم :

$$n_s = 5 \cdot 10^{11} / \text{cm}^2 \quad (2-8)$$

$$\lambda_f = 35 \text{ nm} \quad (2-9)$$

تقسیم بندی های مختلف در نانو فن آوری

همانطور [8] که قبلا اشاره شد تغییر در ابعاد جسم نیم رسانا منجر به تغییر قابل ملاحظه ای در خصوصیات فیزیکی و شیمیایی آن ماده خواهد شد ، مواد با خصوصیات نانو ، به سه گروه اصلی تقسیم می شوند ، در این گروهها عموما مواد رفتاری و خواص مشابهی از خود بروز می دهند که بیشتر وابسته به ساختار ابعادی آنها می باشد و ارتباط کمی با عناصر شیمیایی تشکیل دهنده آنها دارد ، نیز می دانیم این رفتار ناشی از نمود رفتار کوانتوم مکانیکی ماده جدا از عناصر تشکیل دهنده آنها و کاملا متفاوت با رفتار آنها در ساختار عادی شان می باشد . تقسیم بندی در این حوزه به شرح زیر می باشد :

- ۱- نانوسطوح : سطوح با ضخامت چند ده نانو متر مواد بر همنشانده شده روی مواد دیگر
- ۲- نانو سیم ها : لایه های بسیار نازک از مواد که طول آنها چند هزار برابر عرض آنها می باشد، عموما عرض آنها در حدود چند ده نانومتر می باشد (ضخامت آنها هم در حدود چند نانومتر تا چند ده نانومتر می باشد).

- ۳- نانو نقطه ها : مواد یکسان انباشته شده در حد چند نانومتر در درون مواد دیگر .

چگالی حالات در ابعاد گوناگون :

چگالی حالات $D(E)$ [8] ، تعداد حالات در دسترس الکترونی می باشند که انرژی آنها کمتر از ε بر واحد سطح بر واحد انرژی می باشند .

چگالی حالات را می توان به صورت زیر نوشت :

$$(2-10)$$

که در آن :

$$(2-11)$$

تابع توزیع فرمی-دیراک یا احتمال اینکه آن حالات به چه مقداری پر خواهند شد می باشد . در اینجا μ

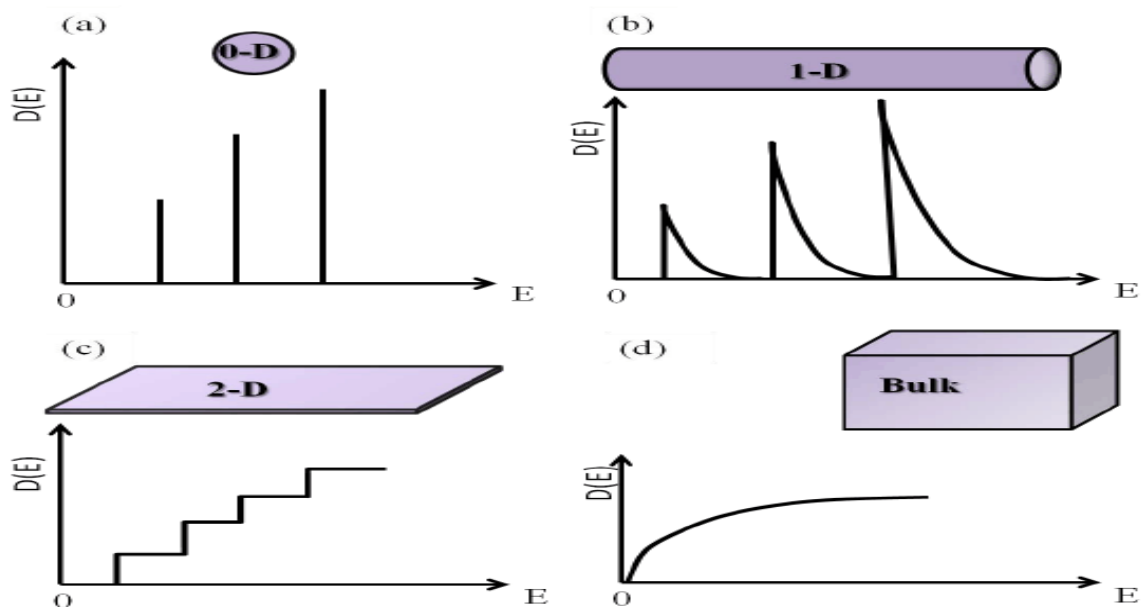
پتاسیل شیمیایی ، k_B ثابت بولتزمن است . برای حالت های مختلف خواهیم داشت :

$$(2-12)$$

$$(2-13)$$

$$(2-14)$$

$$(2-15)$$



شکل (۲-۳)

(a) نمایانگر چگالی حالات الکترونی بر حسب انرژی در یک ماده محتوی نانو نقطه ها

می باشد،

(b) نمایانگر چگالی حالات الکترونی بر حسب انرژی در یک ماده محتوی نانو سیم ها می باشد،

(c) نمایانگر چگالی حالات الکترونی بر حسب انرژی در یک نانو صفحه می باشد،

(d) نمایانگر چگالی حالات الکترونی بر حسب انرژی در یک ماده معمولی می باشد،

خواص الکترونیکی نیم رساناها

قبل از اینکه به بررسی مسئله ترانسپورت الکترونی در یک نانو نیم رسانا بپردازیم باید از نحوه برخورد-

های بین حاملهای بار در آنها آگاهی یابیم . یکی [۷] از مهمترین پارامترها در بررسی تراپرد محاسبه و

برآورد الکترونها می باشد بنابراین نیاز است که انواع مختلف تقسیم بندی پراکندگی های الکترونها را

درون شبکه مورد مطالعه قرار دهیم .

تقسیم بندی انواع برخورد های الکترونی در درون شبکه بلوری

تقسیم بندی از نظر پایاور بودن برخورد :

۱- پراکندگی صلب

الکترون-الکترون / الکترون اتمهای شبکه

۲- پراکندگی غیر صلب

الکترون-اتمهای ناخالصی شبکه دارای ممان مغناطیسی صفر/الکترون -فونون با طول موج کوتاه

/الکترون فونون با طول موج بلند / الکترون-اتمهای ناخالصی شبکه دارای ممان مغناطیسی

تقسیم بندی از نظر پایاور بودن ممان مغناطیسی الکترون :

۱- پراکندگی استاتیک

الکترون-اتمهای ناخالصی شبکه دارای ممان مغناطیسی صفر/ الکترون - فونون با طول موج بلند /

الکترون اتمهای شبکه

۲- پراکندگی دینامیک

الکترون - فونون با طول موج کوتاه / الکترون-الکترون / الکترون-اتمهای ناخالصی شبکه دارای ممان

مغناطیسی

تقسیم بندی از نظر نوع ذرات برخوردی

۱ - الکترون - اتمهای شبکه :

اگر تانسور جرم موثر الکترون متقارن باشد در این حالت پراکندگی " متقارن + صلب + استاتیک "

می باشد.

۲ - الکترون - الکترون :

پراکندگی صلب می باشد - پتانسیل نوسانی که الکترونها را دیگر تولید می کنند باعث پراکندگی الکترون فرودی می شوند این پتانسیل همیشه به یک شکل نبوده ، بنابراین پراکندگی استاتیک نمی باشد . " صلب + دینامیک "

۳ - الکترون-اتمهای ناخالصی شبکه دارای ممان مغناطیسی صفر:

پراکندگی غیر صلب می باشد- این پراکندگی منجر به تاخیر فاز می شود ولی چونکه ناخالصی ها در کل بطور همگن پخش شده اند در کل در نتیجه هموسی الکترونها بی که مسیرهای متفاوتی طی کرده اند تاثیری بجای نمی گذارد - همه به یک اندازه تاخیر فاز می افتند (فرض بر این است که طول مسیر طی شده توسط آنها یکسان می باشد) بنا بر این پراکندگی " غیر صلب + استاتیک " خواهد بود .

۴ - الکترون-اتمهای ناخالصی شبکه دارای ممان مغناطیسی :

پراکندگی غیر صلب می باشد - در این نوع برخورد عکس حالت قبل تابع حالت الکترون خروجی همیشه به یک شکل نخواهد بود در این حالت ممکن است الکترون با اسپین الکترون مداری آن ناخالصی واکنش انجام دهد و احتمال این پدیده همیشه یکسان نمی باشد بنابراین الکترونها در گذار از مسیرهای متفاوت و حتی در زمانهای متفاوت تاخیر فازهای متفاوتی خواهند داشت . بنا بر این در این حالت پراکندگی " غیر صلب + دینامیک " می باشد .

۵ - الکترون - فونون با طول موج بلند :

پراکندگی غیر صلب می باشد چونکه راستای بردار موج فونون باعث غیر همگن شدن تانسور جرم موثر می شود. و نیز پراکندگی استاتیک است زیرا الکترونها بی که بازه ای کمتر از کسر طول موج فونون را

فصل دوم : نانو ساختارهای نیم رسانا

طی کرده اند باز هم باهم همدوس خواهند بود، اثر اختلال پتانسیل حاصل از فونون بر همه تقریباً یکسان می باشد. بنا بر این پراکندگی " غیر صلب + استاتیک می باشد .

۶ - الکترون - فونون با طول موج کوتاه :

بدلیل مشابه حالت قبل غیر صلب ، ولی در این حالت الکترونها پتانسیل اختلالی (ناشی از فونون) متفاوتی را تجربه خواهند کرد و در نتیجه تابع حالت نهایی و در نتیجه فاز نهایی الکترون پراکنده با دیگران متفاوت خواهد بود . پراکندگی " غیر صلب + دینامیک " می باشد .

بررسی انواع رژیم های تراپرد [7,9,10]

بدلیل پیچیدگی حل مسئله ترانسپورت و تحلیل رفتار جمعی الکترونها و به منظور بدست آوردن پارامترهای رفتاری الکترونها نگرشهای و رویکردهای متفاوتی در تحلیل مسئله ترانسپورت اتخاذ می-شود که به مهمترین آنها در ذیل اشاره می شود :

رژیم کلاسیکی (همدوس) :

$$l \ll W \ll L \quad (2-16)$$

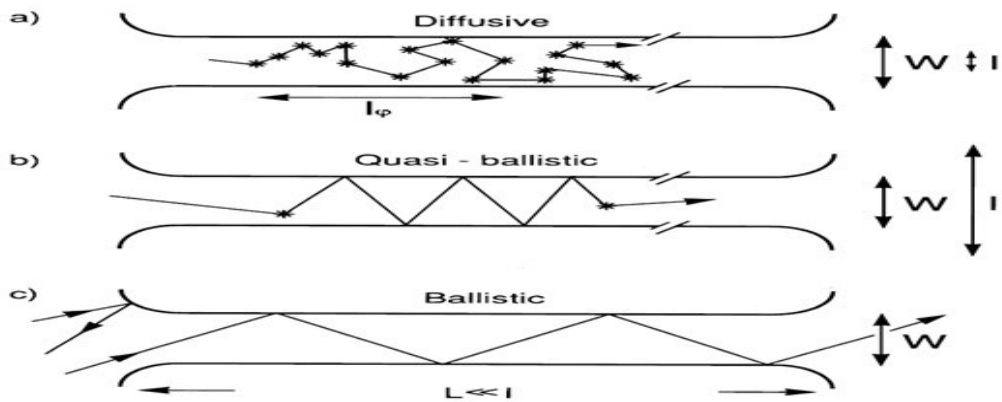
l طول پویش آزاد میانگین و W عرض قطعه و L طول قطعه می باشند .

رژیم دیفوز :

$$l \ll W \ll L \quad (2-17)$$

اگر دما غیر صفر باشد

که در آن G رسانندگی کل و σ رسانندگی می باشد .



شکل (۲-۴) (a) نمایانگر مسیر حرکت الکترون در رژیم دیفیوز ،

(b) نمایانگر مسیر حرکت الکترون در رژیم شبه بالستیک و

(c) نمایانگر مسیر حرکت الکترون در رژیم بالستیک می باشد .

رژیم بالستیک :

$$W \ll L \ll l \quad (2-19)$$

$$G = (e^2 / h) T \quad (2-20)$$

T دمای نمونه بر حسب کلونین می باشد .

رژیم شبه بالستیک :

$$W \ll l \ll L \quad (2-21)$$

$$G = (W/L) \sigma \quad (2-18)$$

در این رژیم بخاطر جایگزیدگی الکترون در یک راستا عملاً گاز دو بعدی الکترونی به گاز یک بعدی الکترونی

تبدیل می شود . جالبترین مشخصه این رژیم مشاهده "اثر جایگزیدگی ضعیف" ^{۲۲} می باشد .

رژیم کوانتومی :

$$l \ll W \ll L \quad (2-22)$$

منظور ما در این مقاله بررسی رفتار الکترونها در این حوزه می باشد .

از اثرات قابل توجه دیگر می توان به اثر ناخالصی ها در ترانسپورت الکترونی اشاره کرد که در بالا در توضیح طول اسکرینینگ اشاره کوتاهی به آن شد، نمود این اثر بصورت افزایش مقاومت الکتریکی و یا تغییر در طیف جذبی ماده مورد نظر دارد که این امر بستگی شدیدی به چگالی و آرایش توزیع ناخالصی ها در ماده پذیرنده خواهد داشت.

محاسبه ترابرد بار در سیستم های مزوسکوپیک

محدوده اعتبار قانون درود^{۲۳}

می دانیم که یکی از آشناترین و قدیمی ترین قوانین رایج در حوزه الکترومغناطیس قانون تجربی اهم می باشد،

$$I = G * V \quad (2-23)$$

I جریان الکتریکی ، G رسانندگی کل و V پتانسیل الکتریکی می باشد . این قانون مدل ماکروسکوپیک قانون درود می باشد [11] که اولین مدل نظری را در مورد پدیده ترابرد در مورد هادیها در فیزیک حالت جامد ارائه داد :

$$\sigma = ne^2\tau/m \quad (2-24)$$

n چگالی الکترونی و e بار الکتریکی الکترون و m جرم موثر الکترون و τ زمان واهلش می باشد .

حال در مرحله ای هستیم که به اعتبار قانون درود شک کرده و این سوال را داشته باشیم :

آیا در این شاخه جدید از فیزیک این قانون اعتبار دارد ؟

برای جواب به این سوال به کمی قبل بازمی گردیم ، در اوایل قرن بیستم تلاشهای زیادی برای توجیه نظری از این قانون توسط فیزیکدانانی همچون "درود" بعمل آمد و آنها توانستند با برخی ملاحظات و تقریبهایی معادل این قانون را در حوزه فیزیک نظری بدست آورند، در نتیجه تلاشهای آنها حدود اعتبار این قانون نیز مشخص شد؛ کشف خواص نیمرساناها و توجه صنعت جهت استفاده روز افزون باعث شد تا نیاز به یافتن معادل این قانون برای بررسی رفتار و خصوصیات جالب نیمه هادیها ایجاد شود .

$$G = (W / L) * \sigma \quad (۲-۲۵)$$

حال حتی اگر فرضیاتی که به قانون درود اعتبار می بخشند درست باشد باید L و W خیلی بزرگتر از طول پویس آزاد میانگین الکترونها باشند تا مدل ماکروسکوپیک این قانون اعتبار داشته باشد .
در ابعاد نانو L و W در حدود طول پویس آزاد میانگین می باشند بنا بر این ترا برد حاملهای بار در قطعات با این ابعاد ویژگیهای خیلی خاص و متفاوتی نسبت به شرایط ابعاد ماکروسکوپیک دارند . ولی بهتر است که اساسا محاسبات را بر مفروضات قابل قبولی بنا نهیم .

فصل سوم

۳ بررسی نظری جذب تابش در نیمرساناها

۳-۱ انواع روشهای محاسبه رسانایی در نیمرساناها ۲۶

۳-۲ روش Density Matrix ۲۸

بررسی نظری جذب تابش در نیمرساناها

اهمیت بررسی ترانسپورت در نیمرساناها

بستگی مقاومت الکتریکی - مغناطیسی - جذب اپتیکی و ... به عوامل داخلی و خارجی ویژه نیمه هادیهای بکاررفته در صنایع الکترونیک و اپتیک نیازمند تحلیل ترابرد (ترانسپورت) الکترون می باشد. آگاهی از شرایط خاص ترابرد الکترون (حفره) در نیم رساناها باعث تعدد قطعات طراحی شده جهت کاربردهای خاص در صنایع می گردد که این هم جذابیت علمی داشته و هم جذابیت‌هایی در زمینه های صنعتی و اقتصادی دارد.

انواع روشهای محاسبه رسانایی در نیمرساناها

روش MFT/Mean Field Theory

همچنین^{۲۴} از این روش به نام های زیر نیز یاد می شود [12,13,14,15,16,17,18]:

Bragg-Williams approximation Bethe lattice, Landau theory, Pirre-Weiss approximation,

Flory-Huggins solution theory, Scheutiens-Fleer theory

این روش که به روش تئوری میدان خود سازگار^{۲۵} / نیز شناخته می شود. رفتار مدل‌های آشوبی پیچیده

را با یک مدل ساده جایگزین می کند. چنین مدل‌هایی برهم کنش تعداد بسیار زیاد ذرات خرد را که با هم

اندر کنش دارند بررسی می کنند. این ایده اولین بار توسط پییر کوری^{۲۶} و پییر وایس^{۲۷} برای توصیف

۲۴ نظریه میدان متوسط

25 Self Consistent Field Theory

26 Piere Currie

27 Piere Wice

۲۸ تابع پارش

گذارهای فاز مشاهده شد ، یک سیستم چند ذره ای را نمی توان بطور دقیق حل کرد مگر در موارد ساده-

ای چون " Ising Model " Random Field Theory "بتوان این کار را انجام داد که در آن دو

مدل یک سیستم چند ذره ای تبدیل به یک سیستم یک ذره ای بعلاوه یک میدان "خوب" جایگزین می-

شود.میدان برهم کنشی به یک میدان برآیند کل ذرات به یک ذره اختیاری تبدیل می شود.مشکل عمده

زمانی آغاز می شود که بخواهیم با ترکیب برهم کنشها مثلا در محاسبه Partition Function ^{۲۸} کل

سیستم و جمع زنی هامیلتونی را روی تک تک ذرات سیستم انجام دهیم . ایده اصلی در این روش این است

که کل برهم کنشها را با یک میدان میانگین برهم کنشی که به اصطلاح ^{۲۹} " Molecular Field "

نامیده می شود جایگزین کنیم در نهایت مسئله چند ذره ای تبدیل به یک مسئله یک ذره ای می شود ، از

نظر بیشتر افراد جواب حاصل از این روش دارای ارزش کمی می باشد .

در تئوری میدان می توان هامیلتونی را برحسب اندازه نوسانات حول میانگین اندازه میدان بسط می دهند،

MFT در واقع به عنوان بسط مرتبه صفرم هامیلتونی نسبت به این افت و خیزها در نظر گرفته می شود.

از نظر فیزیکی یک سیستم MFT هیچ افت و خیزی ندارد، اما این موضوع را دربردارد که تمام برهم

کنشها با یک "میدان میانگین" جایگزین شده اند. در واقع MFT نقطه پرتابی برای شروع محاسبات بعدی

برای مطالعه افت و خیزهای مرتبه اول و مراتب بعدی می باشد .

عموما ، ابعاد نقش تعیین کننده ای در اینکه رهیافت MFT برای حل یک مسئله خاص قابل قبول است

و یا مقبول نمی باشد . در MFT همه برهم کنشها با یک میدان موثر جایگذاری می شوند. بنا بر این اگر

سهم عمده برهم کنشها در میدان اولیه گنجانده شده باشند در این صورت MFT تقریب بسیار خوبی برای

فصل سوم : بررسی نظری جذب تابش در نیمرساناها

این سیستم خواهد بود. این مسئله در مواردی که ابعاد زیاد می باشند و یا این که هامیلتونی شامل نیروهای با برد زیاد می باشد صادق می باشد. نیز اگر هامیلتونی وابسته به مختصات سمتی باشد در آن صورت MFT نمی تواند تقریب خوبی برای چنین سیستمی باشد.

$$\hat{H} = \hat{H}_0 + \Delta\hat{H} \quad (3-1)$$

پایه اساسی MFT بر اصل "Bogoliubov inequality"^{۳۰} در نظریه میدانها استوار است و آن اظهار می دارد که انرژی آزاد یک سیستم با چنین هامیلتونینی دارای یک حد بالا بوده و میانگین گیری روی آنسامبلی از سیستم های مشابهی که هر کدام دارای هامیلتونین بالا می باشند، انجام گرفته است. همانطور که گفته شد روش MFT پایه و مبنای اولیه روشهای دیگر برای حل مسائل در بسیاری از شاخه های فیزیک می باشد؛ در اینجا از ادامه بحث صرف نظر کرده و فقط به موضوع مرتبط با تر خواهیم پرداخت.

رهیافت ماتریس چگالی

روش^{۳۱} [1,20] ما حل مسئله محاسبه رسانندگی بر اساس روش "تئوری ماتریس چگالی" می باشد، قبل از اینکه به معرفی این روش بپردازیم ذکر این نکته لازم است، با وجود اینکه این روش شناخته شده-ترین و پرکاربردترین روش در تئوری ماده چگال می باشد [۲۱]، لذا از اینرو مناسب است که هم بدلیل فوق الذکر و هم بدلیل دور نشدن از مطلب موضوعات مربوط به این پایان نامه شامل بخشهایی از فصل "۲" مرجع [1] و فصل "۵" مرجع [20] عینا در زیر آورده شوند.

ماتریس چگالی

ما آنسامبلی^{۳۲} را از N سیستم یکسان در نظر می گیریم ، که $N \gg 1$ است. این سیستم ها با یک هامیلتونی (یکسان) مشخص می شوند، که با عملگر \hat{H} نمایش داده می شود. در زمان t ، حالت های پایه سیستم های مختلف در آنسامبل را می توان با ویژه توابع $\psi(r_i, t)$ مشخص کرد ، که در آن نشان دهنده مختصات مکانی نسبت به سیستم تحت مطالعه می باشد . اجازه دهید $\psi^k(r, t)$ که نمایشگر ویژه توابع (بهنجار شده) مشخصه حالت فیزیکی باشد که برای سیستم k ام آنسامبل در زمان t رخ داده است ، طبیعتاً

$$k=1,2,\dots,N \quad (3-2)$$

خواهد بود . تغییرات زمانی تابع $\psi^k(t)$ با معادله شرودینگر زیر نمایش داده خواهد شد

$$(3-3)$$

H هامیلتونی سیستم می باشد . حال یک مجموعه متعامد بهنجار از توابع ϕ_n را معرفی می کنیم ، توابع

$\psi^k(t)$ را ممکن است به صورت زیر نوشت :

$$(3-4)$$

که در آن :

$$(3-5)$$

در اینجا ϕ_n^* نشان دهنده مزدوج مختلط ϕ_n است در حالی که $d\tau$ نمایش دهنده عنصر حجمی از فضای مختصات سیستم داده شده می باشد.

فصل سوم : بررسی نظری جذب تابش در نیمرساناها

آشکارا حالت فیزیکی سیستم k ام را می توان بخوبی برحسب ضرایب $a_n^k(t)$ توصیف کرد. تغییرات زمانی این ضرایب با رابطه زیر داده می شود :

$$(3-6)$$

که در آن $(3-7)$

اهمیت ضرایب $a_n^k(t)$ از رابطه $(3-6)$ آشکار می شود. آنها دامنه های احتمال برای سیستم های گوناگون آنسامبل هستند که در حالت های مختلف ϕ_n می باشند. عملاً عدد $|a_n^k(t)|^2$ نمایشگر احتمال اینکه با اندازه گیری در زمان t سیستم k ام آنسامبل را در حالت خاص ϕ_n یافت ، می باشد . آشکارا باید داشته باشیم :

$$(3-8)$$

هم اکنون عملگر چگالی $P_{nn}(t)$ را که با عناصر ماتریسی زیر تعریف می شود :

$$(3-9)$$

آشکارا عنصر ماتریسی $P_{nn}(t)$ ، میانگین آنسامبلی کمیت $a_n^*(t) a_m(t)$ می باشد ، که قانوناً، از عضوی به عضو دیگر در آنسامبل تغییر می کند . بویژه عنصر قطری $\rho_{nn}(t)$ میانگین آنسامبلی احتمال $|a_n(t)|^2$ می باشد .

فصل سوم : بررسی نظری جذب تابش در نیمرساناها

کمیت اخیر خودش یک میانگین کوانتومی می باشد . بنابراین با یک فرآیند میانگین گیری دوگانه مواجه هستیم، که یکی وابسته به دیدگاه احتمالاتی ویژه توابع و دیگری وابسته به دیدگاه آماری آنسامبل می باشد.

حال کمیت $\rho_{nn}(t)$ را بررسی می کنیم که نشان دهنده احتمال اینکه یک سیستم (که بطور کتره ای در آنسامبل انتخاب شده است) در زمان t در حالت ϕ_n یافت شود ، می باشد . با توجه به معادلات (۳-۸) و (۳-۹) داریم :

$$(۳-۱۰)$$

ما باید معادله حرکت ماتریس چگالی $P_{nn}(t)$ را مشخص کنیم . با معادلات پیش رو آن را بدست می-آوریم ،

$$(۳-۱۱)$$

در اینجا از مشخصه هرمیتی عملگر \hat{H} استفاده شده است $\hat{H}_{nl}^* = \hat{H}_{nl}$. با استفاده از خلاصه نویسی جابجاگرها معادله (۹) را می توان به صورت زیر نوشت :

$$(۳-۱۲)$$

فصل سوم : بررسی نظری جذب تابش در نیمرساناها

حال اگر سیستم شناخته شده در حالت تعادل باشد ، آنسامبل مختص آن نیز باید پایا باشد، یعنی اینکه :

$$d/dt \rho_{mn} = 0$$

معادلات (۳-۱۱) و (۳-۱۲) فقط دلالت بر یک چیز دارند و آن اینکه اولاً تابع چگالی P باید تابع صریحی

از عملگر هامیلتونی \hat{H} باشد (بنا بر این دو عملگر باید جابجا شوند) و ثانیاً هامیلتونی نباید به طور صریح

به زمان وابسته باشد . یعنی اینکه باید داشته باشیم :

اولاً $P\hat{H} = \hat{H}P$ و ثانیاً $d/dt \hat{H} = 0$. حال اگر ϕ_n ها که فقط ویژه توابع هامیلتونی بودند در این

صورت ماتریس چگالی و هامیلتونی در این نمایش قطری خواهند بود :

$$(۳-۱۳)$$

توجه شود که در این نمایش (که نمایش انرژی خوانده می شود) عملگر چگالی را می توان به صورت

زیر نمایش داد :

$$(۳-۱۴)$$

$$(۳-۱۵)$$

عنصر قطری ρ_{mn} یک اندازه گیری از احتمال سیستمی (که بطور کتره ای در زمان t از آنسامبل انتخاب

شده است) می باشد که در ویژه حالت ϕ_n یافت می شود و بطور طبیعی وابسته به ویژه حالت متناظر E_n

هامیلتونی را دارد، با وجود این طبیعت دقیق این وابستگی بوسیله "نوع" آنسامبل مشخص می شود که

می خواهیم بسازیم.

فصل سوم : بررسی نظری جذب تابش در نیمرساناها

در هر نمایش بغیر از انرژی ، ماتریس چگالی ممکن است قطری نباشد. با وجود این اساسا متقارن خواهد بود:

$$(3-16)$$

علت فیزیکی این تقارن در این است در "تعادل آماری" ، تمایل سیستمی که از یک حالت (در نمایش جدید) به حالت دیگر می خواهد برود باید با تمایل حرکتی سیستمهای دیگر (درون آنسامبل) که در جهت خلاف می خواهند حرکت کنند ، تنظیم شود . این شرط تنظیم جزء به جزء برای حفاظت از توزیع درون آنسامبل ضروری است . در نهایت ما مقدار چشمداشتی یک کمیت فیزیکی G را در نظر می گیریم ، که بطور دینامیکی با یک عملگر G نمایش داده می شود . این امر با رابطه زیر داده می شود :

$$(3-17)$$

که بر حسب ضرایب a_n^k داریم ،

$$(3-18)$$

که در آن

$$(3-19)$$

با وارد کردن عملگر چگالی معادله (۱۵) به شکل زیر در می آید

$$(3-20)$$

اگر $\hat{G}=1$ باشد

$$(3-21)$$

که همان رابطه (3-10) می باشد. باید توجه کرد که اگر ویژه توابع ψ^k که بهنجار شده اند و مقدار

چشمداشتی $\langle G \rangle$ که با رابطه زیر داده می شود :

$$(3-22)$$

از دیدگاه ساختار ریاضی فرمولهای (3-20) و (3-22) ، که مقادیر چشمداشتی کمیت فیزیکی G می

باشند اساسا مستقل از انتخاب پایه $\{ \phi_n \}$ می باشند ، که باید همین گونه هم باشد بنابراین با دانستن

ماتریس چگالی می توانیم کمیت های فیزیکی دیگر را حساب کنیم . در زیر به معرفی روش رهیافت

ماتریس چگالی برای حل یک مسئله می پردازیم .

گاز الکترون آزاد در دو بعد

هامیلتونی سیستم چند ذره ای به صورت زیر در می آید :

$$(3-23)$$

که در آن $\psi(r,t)$ تابع موج سیستم چند ذره ای می باشد (از اسپین الکترونها صرفنظر کرده ایم).

هامیلتونی H باید شامل تمام بر هم کنشهایی باشد که در آن الکترون ها نقش دارند . این معادله در واقع

شامل چندین معادله دیفرانسیل جفت شده با هم می باشد که در نتیجه حل آن پیچیده می باشد . روشهای

تقریبی مناسبی برای ساده سازی و حل این معادلات موجود می باشند ، مثلا اثرات بر هم کنش یونهای

فصل سوم : بررسی نظری جذب تابش در نیمرساناها

شبهه با الکترونها را با وارد کردن جرم موثر در معادله فوق لحاظ می کنیم ، در نتیجه هامیلتونی فوق به صورت دو جمله یکی شامل جمع هامیلتونی تک ذره ای الکترونها و دیگری مربوط به برهم کنش الکترون-الکترون ، کل الکترونها در می آید .

$$(۳-۲۴)$$

H_0 هامیلتونی مربوط به جمع هامیلتونی تک ذره ای الکترونها و H_{ee} هامیلتونی برهم کنش الکترون-الکترون بین کل الکترونها سیستم مورد نظر می باشد . اگر میدانهای خارجی وجود نداشته باشند H_0 را می توان بر حسب حالت های تک الکترونی بسط داد :

$$(۳-۲۵)$$

که در آن $\{p_i\}$ عملگر های تگانه تک الکترونی می باشند . در حضور میدان تابشی تحت تاثیر میدان مغناطیسی ناشی از این میدان که بوسیله پتانسیل برداری $A(r,t)$ نمایش داده می شود ، H_0 به شکل زیر در می آید ،

$$(۳-۲۶)$$

که در آن $\{r_i\}$ مختصات الکترونها e بار الکتریکی الکترون و c سرعت نور در خلا می باشند . و قسمت الکترون-الکترون هامیلتونی به فرم زیر در می آید ،

$$(۳-۲۷)$$

فصل سوم : بررسی نظری جذب تابش در نیمرساناها

در غیاب میدان خارجی معادلات موج ذره آزاد بصورت ویژه توابع تک الکترون آزاد بسط داده می-

شوند ،

$$(3-28)$$

در بنداشت کوانتس ثانی ، $a_k(t)$ ، $a_k^+(t)$ عملگرهای فنا و خلق یک الکترون در زمان t با حالت k را

به نمایش می گذارند . در اینجا اسپین الکترون به منظور سادگی لحاظ نگردیده است . روابط پادجابجایی

زیرین در مورد عملگرهای بنداشت کوانتس ثانی برقرار می باشند :

$$(3-29)$$

$$(3-30)$$

عملگرهای میدان $\psi(r,t)$ و $\psi^+(r,t)$ الکترونها را در زمان t در موقعیت r فنا یا خلق می کنند . آنها

روابط پادجابجایی زیر را برای فرمیونها ارضا می کنند :

$$(3-31)$$

$$(3-32)$$

رابطه (3-25) بصورت زیر درخواهد آمد ،

(۳-۳۳)

که در اینجا عملگرهای $a_k(t)$ ، $a_k^+(t)$ نمایانگر تعداد الکترونهاى موجود در تراز با k بردار موج k می-باشند . برای قسمت برهم کنش الکترون – الکترون داریم :

(۳-۳۴)

که در آن V_q تبدیل فوریه پتانسیل کولنی می باشد ،

(۳-۳۵)

حال عملگرهای کوانتش ثانی رابطه (۳-۲۸) را در رابطه (۳-۳۴) جایگذاری می کنیم :

(۳-۳۶)

(۳-۳۷)

در نتیجه خواهیم داشت :

(۳-۳۸)

فصل سوم : بررسی نظری جذب تابش در نیمرساناها

در غیاب میدانهای خارجی هامیلتونی رابطه (۳-۲۴) به شکل زیر درمی آید :

$$(۳-۳۹)$$

ماتریس چگالی تک الکترونی

عملگر چگالی تک ذره ای (الکترون) به صورت زیر تعریف می شود :

$$(۳-۴۰)$$

با استفاده از ویژه بردارهای تک ذره ای که خود متعامد بهنجار می باشند ، داریم ،

$$(۳-۴۱)$$

مقدار چشمداشتی تبدیل فوریه عملگر چگالی به شکل زیر خواهد بود :

$$(۳-۴۲)$$

مقدار چشمداشتی یک مشاهده پذیر A را که خود عملگر هرمیتی می باشد را می توان بوسیله عملگر

چگالی $\rho(r,t)$ بدست آورد ، مقدار چشمداشتی A را می توان از طریق میانگین گیری آماری آنسامبلی

از سیستم الکترونها که خود با میانگین گیری کوانتوم روی حالت هر سیستم موجود در آنسامبل همراه

است، بدست آورد :

$$(۳-۴۳)$$

فصل سوم : بررسی نظری جذب تابش در نیمرساناها

که در آن " $\langle \rangle$ " نمایانگر میانگن گیری آماری روی آنسامبل بوده و A_{nm} عنصر ماتریس A در پایه

$\{\phi_n(r)\}$ می باشد که خود میانگین کوانتوم مکانیکی به صورت زیر می باشد :

$$(3-44)$$

ماتریس چگالی تک الکترون با عنصر ماتریسی زیر تعریف می شود ،

$$(3-45)$$

عضوفطری ماتریس چگالی یعنی $\langle a_n^+(t) a_n(t) \rangle$ ، تعداد حالت‌های اشغال شده حالات متناظر را نشان

می دهد. حال با جایگذاری رابطه (۲۳) در رابطه (۲۱) داریم :

$$(3-46)$$

این معادله خیلی مفید است چونکه بر حسب پایه ای که آن را بدست آوردیم بستگی ندارد .

عنصر ماتریس چگالی در نمایش فضای تکاه بصورت زیر می باشد :

$$(3-47)$$

ارزشمند است که اشاره ای داشته باشیم مبنی بر اینکه عملگرهایی که در رابطه (۲۴) نمایش داده شدند

در تصویر شرودینگر می باشند . معادله حرکت ماتریس چگالی تحت هامیلتونی H بصورت زیر در

می آید :

$$(3-48)$$

که این رابطه معادل کوانتوم مکانیکی رابطه لیوویل در مکانیک کلاسیک می باشد .

چگالی حالات گاز الکترونی دو بعدی

چگالی [۱] حالات $D(E)$ ، تعداد حالات در دسترس الکترونی می باشند که انرژی آنها کمتر از ϵ بر واحد سطح بر واحد انرژی می باشند .

چگالی حالات را می توان به صورت زیر نوشت :

$$(3-49)$$

که در آن :

$$(3-50)$$

شیمیایی ، k_B ثابت بولتزمن است . بردار موج متناظر الکترون متحرک در صفحه دو بعدی در فضای تکانه تابع توزیع فرمی-دیراک یا احتمال اینکه آن حالات به چه مقداری پر خواهند شد می باشد . در اینجا μ پتاسیل نیز در دو بعد قرار خواهد گرفت . ناحیه متناظر در فضای تکانه ، به ازای هر حالت الکترونی که در دو بعد و مثلاً در ابعاد L^2 حرکت می کند ، برابر با $2\pi/L^2$ خواهد بود . چگالی حالات طیف پیوستار الکترون آزاد با ضریب تبهگنی g_v عبارت است از :

$$(3-51)$$

که در آن ضریب "۲" به منظور شمارش اسپین الکترون منظور گردیده است . صرف نظر از برهم کنش های کولنی بین الکترونها و اثر میدانهای خارجی ، انرژی های متناظر با یک تک زیر نوار الکترون آزاد دو

فصل سوم : بررسی نظری جذب تابش در نیمرساناها

بعدی در یک نانو ساختار بوسیله رابطه زیر بدست می آیند :

$$(3-52)$$

چگالی حالات متناظر با این زیر نوار تنها، عبارت است از :

$$(3-53)$$

که در آن $\Theta(\varepsilon)$ تابع پله ای "هوی ساید" می باشد . چگالی کل حالات سیستم با انرژی ε از جمع روی

چگالی حالات زیر نوارهای اشغال شده بدست می آید ،

$$(3-54)$$

که در آن ε_n انرژی الکترونهاى داخل زیر نوار n ام می باشد . برای حل معادله (۲۶) ناچاریم به منظور

تبدیل روابط دیفرانسیلی به روابط جبری تبدیل فوریه عبارات لازم را بدست آوریم ؛

$$(3-54)$$

$$(3-55)$$

$$(3-56)$$

در این حالت در معادله (۲۶) با عباراتی بصورت زیر برخورد خواهیم کرد :

$$(3-57)$$

و یا :

(۳-۵۸)

و داریم :

(۳-۵۹)

در تقریب RPA معادله فوق به شکل زیر در می آید :

(۳-۶۰)

با استفاده از "تقریب فاکتورگیری" یا جایگذاری مقدار چشوداشتی چهار مولفه ای با حاصلضرب دو

فصل سوم : بررسی نظری جذب تابش در نیمرساناها

تا مقدار چشمداشتی دو مولفه ای معادله حرکت در تصویر هایزنبرگ برای ماتریس چگالی "سیستم تک

الکترونی" به صورت زیر می باشد :

(۳-۶۱)

که می توان آن را به شکل زیر نوشت :

(۳-۶۲)

اگر بعنوان یک فرض، بستگی $F(k, k+q)$ را به زمان بصورت $\exp[-i(\omega+i\delta)]$ خطی بدانیم، خواهیم

داشت :

(۳-۶۳)

در دیدگاه RPA جملاتی که $q \neq q'$ باشند حذف خواهند شد . حال فرم توزیع فرمی-دیراک را جایگزین

عناصر ماتریسی در تقریب RPA می کنیم :

(۳-۶۴)

(۳-۶۵)

و

فصل سوم : بررسی نظری جذب تابش در نیمرساناها

بخشی از عبارت (۴۱) را می توان به شکل زیر در می آید :

$$(۳-۶۶)$$

با $\delta \rightarrow 0$ می توان ویژه فرکانسهای سیستم را بدست آورد . حال هامیلتونی به شکل زیر در می آید :

$$(۳-۶۷)$$

که در آن $V(q,t)$ تبدیل فوریه انرژی پتانسیل موثر می باشد . برای $n(q,t)$ داریم :

$$(۳-۶۸)$$

تابع پلاریزاسیون الکترونیهای آزاد را معرفی می کنیم :

$$(۳-۶۹)$$

تبدیل فوریه $\rho(q,\omega)$ به شکل زیر می باشد ،

$$(۳-۷۰)$$

حال با استفاده از روابط تبدیل فوریه $q^2\phi(q,\omega)=4\pi\rho(q,\omega)$ برای لاپلاسیان و $V_q=4\pi e^2/q^2$ برای

پتانسیل ، شکل انرژی پتانسیل القایی به صورت زیر در می آید :

$$(۳-۷۱)$$

تابع دی الکترونیک گاز الکترونی که بصورت V_{ext}/V تعریف می شود فرم زیر را خواهد داشت :

$$(۳-۷۲)$$

عملگر چگالی جریان

در [۱] اینجا برای مثال عملگر ماتریس چگالی جریان را برای گاز الکترونی دو بعدی بررسی می کنیم؛ عملگر چگالی جریان کل را می توان از معادله پیوستگی و یا از مشتق نسبت به هامیلتونی سیستم H ، نسبت به پتانسیل برداری $A(t)$ استخراج کرد ،

$$(۳-۷۳)$$

برای یک سیستم گاز الکترونی دو بعدی در حضور میدان الکترومغناطیسی تنها جمله هامیلتونی که به A وابسته است عبارت است از :

$$(۳-۷۴)$$

بنا بر این عملگر چگالی شامل دو مولفه خواهد بود :

$$(۳-۷۵)$$

با استفاده از عملگرهای میدان :

$$(۳-۲۸)$$

می توانیم عملگر چگالی جریان را به فرم کوانتش ثانی بنویسیم ، زمانی که پتانسیل برداری کل فقط وابستگی زمانی داشته باشد . خواهیم داشت :

(۳-۷۶)

عملگر چگالی جریان در نمایش فضای اندازه حرکت از طریق تبدیل فوریه چگالی جریان در فضای نمایش مختصات بدست می آید .

(۳-۷۷)

میانگین ترمودینامیکی عملگر چگالی جریان را می توان بصورت زیر نمایش داد

(۳-۷۸)

که در آن n چگالی الکترون دوبعدی می باشد . اولین جمله در طرف راست معادله فوق به پراکندگی الکترونها سیستم وابسته است و شامل تمام برهم کنشها می باشد . جمله دوم چگالی مستقل از جریان پراکندگی می باشد .

فصل چهارم

رسانندگی الکترونها در نانوسیم نیمرسانا

تحت اثر تابش الکترومغناطیسی

۴۶ بدست آوردن حالت‌های الکترونی تابع موج	۴-۱
۵۵ Density Matrix	۵-۲
۶۰ رسانندگی	۴-۳
۶۷ محاسبات عددی	۴-۴

فصل چهارم : رسانندگی الکترونها در نانوسیم نیمرسانا تحت اثر تابش الکترومغناطیسی —
بدست آوردن حالت‌های الکترونی تابع موج

برای آغاز [۱] کار هیافت عملی استفاده از ویژه توابع تک الکترون محصور در یک چاه به طول بی نهایت و دارای پتانسیل دیواره ای $1/2KY^2$ می باشد که این پتانسیل بسیار شبیه پتانسیل مربوط به "تابع کار" الکترون در فلزات می باشد ، جوابهای مربوطه برای قسمت طولی بصورت توابع موج الکترون آزاد و برای قسمت عرضی ویژه توابع هرمیت خواهند بود ، آشکار است که تاثیر یونها بر حرکت الکترون با تعیین جرم موثر الکترون اعمال گردیده است برای احتساب تاثیر فوتونها میدان لیزری را از طریق پتانسیل برداری به شکل زیر وارد مسئله می کنیم :

$$(۴-۱)$$

$A_T(t)$ پتانسیل برداری وابسته به فوتون میدان لیزری ، $E_T(t)$ دامنه میدان لیزری ، c سرعت نور ، ω فرکانس میدان لیزری ، e_x بردار یکه در راستای محور x و t پارامتر زمان و x و y مختصه مکانی می باشند ؛ شکل هامیلتونی تک الکترون بصورت زیر خواهد بود :

$$(۴-۲)$$

H_{se} هامیلتونین تک الکترون ، p_x تکانه الکترون در راستای محور x ، p_y تکانه الکترون در راستای محور y ، m^* جرم موثر الکترون ، e بار الکتریکی الکترون ، ω_0 فرکانس ذاتی قطعه مربوط به پتانسیل محدود کننده حرکت الکترون در راستای محور y ؛ و معادله مکانی زمانی شرودینگر مربوطه :

$$(۴-۳)$$

فصل چهارم : رسانندگی الکترونها در نانوسیم نیمرسانا تحت اثر تابش الکترومغناطیسی —

$\psi(x,y,t)$ تابع موج الکترون در بلور در حضور میدان لیزری و \hbar ثابت پلانک بخش بر 2π می باشد .

این رابطه در عدم حضور میدان لیزری به شکل زیر می بود :

$$(4-4)$$

$\phi(x,y,t)$ تابع موج الکترون در بلور در عدم حضور میدان لیزری می باشد ؛ که دارای جواب عمومی :

$$(4-5)$$

$\xi_n(y)$ ویژه تابع هامیلتونین الکترون در غیاب میدان مغناطیسی و محدودیت اعمال شده در راستای y ،

k_x بردار موج الکترون در راستای x ، $\epsilon_{k_x,n}$ ویژه مقادیر هامیلتونین الکترون در راستای محور x با

بردار موج k_x و عدد کوانتومی n و L طول بلور در راستای محور x است؛ شکل صریح ویژه تابع

قسمت عرضی بصورت:

$$(4-6)$$

H_n تابع هرمیت مرتبه n ام می باشد ؛ و طیف ویژه مقادیر انرژی بصورت زیر خواهد بود :

$$(4-7)$$

حال برای بدست آوردن جوابهای عمومی معادله شرودینگر با حضور میدان لیزری با استفاده از تبدیل

یکانی : $(4-8)$

فصل چهارم : رسانندگی الکترونها در نانوسیم نیمرسانا تحت اثر تابش الکترومغناطیسی

رابطه بین معادلات شرودینگر بین قبل و بعد از اعمال میدان لیزری به شکل زیر خواهد بود :

(۴-۹)

پس از ساده سازی و برابر قرار دادن ضرایب جملات یکسان از دو طرف معادله بدست می آوریم :

(۴-۱۰)

(۴-۱۱)

با حل معادلات دیفرانسیل فوق جواب ها به صورت زیر خواهند بود :

(۴-۱۲)

(۴-۱۳)

که در آن :

(۴-۱۴)

(۴-۱۵)

بنابر این ویژه توابع الکترونی در حضور تابش بصورت زیر خواهند بود :

فصل چهارم : رسانندگی الکترونها در نانوسیم نیمرسانا تحت اثر تابش الکترومغناطیسی —

(۴-۱۶)

با بسط ویژه توابع دستگاه بس ذره ای در رهیافت کوانتس ثانی بر پایه ویژه توابع الکترونی در حضور تابش به دست می آوریم،

(۴-۱۷)

$a_{k_x,n}(t)$ دامنه تابع موج الکترون با بردار موج k_x و عدد کوانتومی n مربوط به ویژه بردارهای هامیلتونی تک الکترون در حضور میدان لیزری می باشد رابطه دوم ترانهاده رابطه قبلی می باشد . می توان ویژه توابع دستگاه بس ذره ای را بر پایه ویژه توابع الکترونی در غیاب تابش نیز بسط داد،

(۴-۱۸)

$b_{k_x,n}(t)$ دامنه تابع موج الکترون با بردار موج k_x و عدد کوانتومی n مربوط به ویژه بردارهای هامیلتونی تک الکترون در غیاب میدان لیزری می باشد رابطه دوم ترانهاده رابطه قبلی می باشد . در یک دستگاه فرمیونی برای عملگرهای میدان داریم :

(۴-۱۹)

فصل چهارم : رسانندگی الکترونها در نانوسیم نیمرسانا تحت اثر تابش الکترومغناطیسی

که در آن $\delta(r-r')$ تابع دلتای دیراک نسبت به مختصات مکانی می باشد .

ارتباط پایه قدیم با پایه جدید از طریق رابطه زیر قابل حصول است :

$$(۴-۲۰)$$

می توان اثرات میدان الکتریکی منتج از اعمال ولتاژ بین ابتدا و انتهای نمونه و نیز برهم کنش بین

الکترون-الکترون و الکترون-یون را در حضور تابش محاسبه نمود.

آشکار است که شکل کلی هامیلتونی بصورت زیر بخش پذیر می باشد:

$$(۴-۲۱)$$

H_0 هامیلتونی تک الکترون آزاد در بلور می باشد که تلویحا در راستای y پتانسیل نوسانگر هماهنگ

را به الکترون اعمال کرده و در راستای x پتانسیل میدان لیزری و پتانسیل میدان آزمون (Probe) اعمال

می شود ، اثرات برهم کنش الکترون با یونهای شبکه از طریق ضریب جرم موثر الکترون منظور می-

گردد و H_{ee} هامیلتونی برهم کنش الکترون - الکترون و H_{eI} هامیلتونین برهم کنش الکترون با یون اتم

ناخالصی درون شبکه بلوری می باشد ، H هامیلتونی کل الکترون که قیدی در راستای y بر حرکت آن

اعمال می شود و لیزر عمود بر راستای x بر سطح نمونه می تابد و میدان الکتریکی در راستای x تولید

می کند و نیز میدان الکتریکی که از طریق اختلاف پتانسیل بین دو انتهای میله (قطعه) اعمال

شده ، و با یونهای اتمهای ناخالصی و الکترونها دیگر برهم کنش می کند . می توانیم اثر میدان الکتریکی

اعمالی را از طریق پتانسیل برداری به شکل زیر وارد معادلات کنیم :

فصل چهارم : رسانندگی الکترونها در نانوسیم نیمرسانا تحت اثر تابش الکترومغناطیسی

(۴-۲۲)

Ω فرکانس میدان آزمون و E دامنه آن میدان می باشد ، $A(t)$ پتانسیل برداری همان میدان هست .

هامیلتونی الکترون آزاد بدون برهم کنش در پایه های جدید و قدیم از طریق رابطه زیر نمایان می شود :

(۴-۲۳)

(۴-۲۴)

محاسبه جملات برهم کنشی الکترون - الکترون و الکترون-یون از اهمیت خاصی برخوردارند . یونهای

ناخالصی ها/اثرات یونهای عادی قبلا از طریق جاگذاری جرم موثر بجای جرم الکترون در هامیلتونی

منظور گردیده است ، فرض بر این بوده که سیستم همسانگرد می باشد.

بر هم کنش الکترون-الکترون از طریق جمله زیر قابل محاسبه می باشد :

(۴-۲۵)

مختصات r و r' موقعیت مکانی الکترونها واقع در موقعیتهای r و r' می باشند ؛ که در آن :

فصل چهارم : رسانندگی الکترونها در نانوسیم نیمرسانا تحت اثر تابش الکترومغناطیسی —

(۴-۲۶)

V_q دامنه پتانسیل برهم کنش دو الکترون و یا تبدیل فوریه پتانسیل برهم کنش دو الکترون نسبت به بردار

موج q می باشد ؛ و یا :

(۴-۲۷)

با جایگذاری شکل صریح ویژه توابع الکترونی بر حسب بردارهای پایه به رابطه زیر می رسیم :

(۴-۲۸)

اندیس ۱ مربوط به الکترون ۱ و اندیس ۲ مربوط به الکترون ۲ و متغیرهای پریم دار مربوط به مقادیر

بعد از برخورد و متغیرهای بدون پریم مربوط به مقادیر قبل از برخورد می باشند و مقدار q_x در طی

فرآیند برخورد از تکانه ذره ۱ در راستای x کم شده و به تکانه ذره ۲ در همان راستا اضافه گردیده

است ؛ که در آن از رابطه تعامد زیر بهره جسته ایم :

(۴-۲۹)

برای راحتی انجام محاسبات بعدی تابع $M_{nn'}(q_y)$ را تعریف می کنیم :

(۴-۳۰)

فصل چهارم : رسانندگی الکترونها در نانوسیم نیمرسانا تحت اثر تابش الکترومغناطیسی ———
 اعداد $n_<$ مربوط به عدد کوانتومی کوچکتر ، $n_>$ مربوط به عدد کوانتومی بزرگتر بردار موج الکترون
 در راستای y بلور می باشد ؛ که در آن :

$$(4-31)$$

تابع وابسته لاگور می باشد .

در این صورت هامیلتونی الکترون-الکترون شکل ساده تر زیر را خواهد داشت:

$$(4-32)$$

به همین ترتیب هامیلتونی برهم کنش الکترون-یون به شکل زیر خواهد بود :

$$(4-33)$$

R_i مختصه مکانی یون اتم ناخالصی i ام و Z درجه یونش یونهای اتمهای ناخالصی می باشد؛ و شکل

صریح آن بر حسب ویژه توابع به صورت زیر می باشد :

$$(4-34)$$

پس از ساده سازی خواهیم داشت :

$$(4-35)$$

فصل چهارم : رسانندگی الکترونها در نانوسیم نیمرسانا تحت اثر تابش الکترومغناطیسی ———
حال که شکل کلی هامیلتونی بدست آمده است راه برای بدست آوردن پارامترهای مشخصه سیستم
الکترونی هموار می باشد گرچه همچنان مسائلی در پیش رو می باشند ، برای چگالی جریان داریم :

$$(4-36)$$

چگالی جریان را با j نمایش می دهیم ؛ و یا :

$$(4-37)$$

نامگذاری :

می توان با جداسازی رابطه بالا را به مجموع سه بخش زیرین تقسیم نمود. اولین عبارت جمله مربوط
به جریان ناشی از میدان لیزری در سیستم مورد مطالعه می باشد .

$$(4-38)$$

در عبارت بالا n چگالی الکترونها می باشد.

جمله بعدی در رابطه با حرکت الکترونی ناشی از اعمال ولتاژ (میدان آزمون) در دو سر نمونه خواهد
بود .

$$(4-39)$$

در بالا σ_0 معرف رسانندگی درود می باشد ؛ و سرانجام این جمله نشانگر عبارت مربوط به حرکت
ذاتی الکترونها در غیاب میدانهای لیزری و (آزمون) می باشد.

فصل چهارم : رسانندگی الکترونها در نانوسیم نیمرسانا تحت اثر تابش الکترومغناطیسی

(۴-۴۰)

چگالی جریان j_r و میدان لیزری E_r در یک راستا بوده ولی به اندازه $\pi/2$ دارای اختلاف فاز بوده ، بنابراین یک جریان واکنشی بوده و نمی تواند سهمی در جذب داشته باشد . چگالی جریان j_0 ، یعنی جریان کل ناشی از اعمال میدان آزمون $E(t)$ ، نمایانگر هدایت " درود / Drude " است. اثرات واکنش-های الکترون - الکترون، الکترون - یون (ناخالصی)، و همچنین گذارهای "کنار نواری" (side band) واسطه چگالی جریان j_I در جریان الکترونی کل سهم خواهند بود .

۴-۲ Density Matrix / تحول زمانی ماتریس چگالی

چگالی [۱] جریان j_I را می توان با بدست آوردن ماتریس چگالی سیستم در فضای تکانه بدست آورد . ماتریس چگالی الکترونی را می توان از طریق زیر بدست آورد :

(۴-۴۱)

عنصر n' و n ماتریس چگالی n'_n می باشد که نشان می دهد دامنه احتمال فنای یک الکترون با عدد کوانتومی n و بردار موج k_x در راستای محور x و بردار موج k_y در راستای محور y و تولید یک الکترون با عدد کوانتومی n' و بردار موج k_x+q_x در راستای محور x و بردار موج k_y در راستای محور y چقدر می باشد؛ معرفی می کنیم:

(۴-۴۲)

$F_{n'n}(k_x+q_x, k_x)$ بخش طولی مولفه $n'n$ تابع چگالی می باشد . و

فصل چهارم : رسانندگی الکترونها در نانوسیم نیمرسانا تحت اثر تابش الکترومغناطیسی —

(۴-۴۳)

شایان ذکر است که بجز عملگر هامیلتونی که اندیس صفر آن مربوط به حالت عدم وجود میدانهای برهم کنشی الکترون - الکترون و الکترون-یون می باشد بعد از این اندیس صفر در تمامی عملگرها نشان دهنده فرم نمایش آنها بر حسب ویژه بردارهای جدید و بدون داشتن اندیس صفر نشان دهنده نمایش آنها بر حسب ویژه بردارهای حالت قدیم (ویژه بردارهای مربوط به الکترون در غیاب میدان برهم کنشی لیزر و میدان آزمون خواهد بود) ؛ که خواهیم داشت :

(۴-۴۴)

دیدیم که فقط دو جمله برهم کنش الکترون-الکترون و اثرات ناخالصی ها روی حرکت الکترونی دارای برآورد غیر صفری روی جریان الکتریکی می باشند ، بدین منظوره محاسبه تابع چگالی جریان القایی می پردازیم :

(۴-۴۵)

داریم :

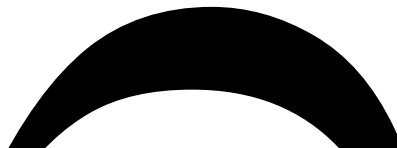
(۴-۴۶)

که از تعریف زیر بهره جسته ایم :

(۴-۴۷)

برای حل مسئله نخست باید به محاسبه عبارت زیر پردازیم :

فصل چهارم : رسانندگی الکترونها در نانوسیم نیمرسانا تحت اثر تابش الکترومغناطیسی



(۴-۴۸)

مسئله محاسبه عبارت بالا و بدست آوردن شکل ساده و جمع و جور دارای اهمیت بالایی بوده و نیازمند دقتی مضاعف می باشد . روابط پادجابحایی زیرین بر فضای عملگرهای خلق و فنا حاکم می باشند :

(۴-۴۹)

(۴-۵۰)

(۴-۵۱)

(۴-۵۲)

در محاسبات به عباراتی برخورد می کنیم که باید با استفاده از روابط پادجابحایی فوق الذکر ساده سازی شوند که به یک نمونه از آنها در ذیل اشاره می شود :

(۴-۵۳)

در محاسبات بعد از شکستن عبارات فوق الذکر به فرم هایی همچون عبارات زیر برخورد می کنیم :



(۴-۵۴)

و یا :



(۴-۵۵)

بطور مثال عبارت (۵۳) در ساده ترین حالت به شکل زیر تبدیل خواهد شد :



(۴-۵۶)

فصل چهارم : رسانندگی الکترونها در نانوسیم نیمرسانا تحت اثر تابش الکترومغناطیسی —

با اعمال تقریب RPA^{32} [22] تقریب فاز کاتوره ای جمله آخر حذف شده به صورت ذیل تقلیل خواهد یافت :

(۴-۵۷)

نیز با اعمال تقریب فاکتور گیری^{۳۳} [21] می توانیم ساده سازی بیشتری انجام دهیم ، در این حالت گزاره- های چهار عضوی مقدار چشمداشتی به حاصلضرب مقدار چشمداشتی دو گزاره دو عضوی تبدیل می- شوند ، معادله به شکل زیر در می آید :

(۴-۵۸)

در نهایت برای قسمت شامل برهم کنش الکترون - الکترون که دارای پیچیده ترین محاسبات بود رابطه زیر بدست می آید ، در طی محاسبات نهایت ساده سازی با استفاده از کمی اعمال تغییرات در اندیسیها و تعاریف عناصر تابع چگالی انجام گردیده است :

(۴-۵۹)

32 Random Phase Approximation

33 Factorization Approximation

فصل چهارم : رسانندگی الکترونها در نانوسیم نیمرسانا تحت اثر تابش الکترومغناطیسی —

عملیات مشابهی برای بدست آوردن جملات مربوط به عناصر برهم کنش الکترون – اتم ناخالصی و

جمله مربوط به الکترون آزاد عملگر هامیلتونین خواهیم داشت و در نتیجه تغییرات عناصر قطری ماتریس

چگالی از رابطه زیر قابل محاسبه می باشد :

$$(4-60)$$

که در آن :

$$(4-61)$$

۴-۳ محاسبه رسانندگی

حال [۱] که عناصر ماتریس چگالی مشخص شدند می توانیم کمیت‌های دیگر فیزیکی من جمله چگالی

جریان را محاسبه کنیم . برای قسمت غیر صفر چگالی جریان خواهیم داشت :

$$(4-62)$$

با توجه به اینکه $n^*(q,t) = n(-q,t)$ و اینکه V_q به راستای q وابسته نمی باشد داریم :

$$(4-63)$$

در نهایت به فرم ساده زیر خواهیم رسید :

فصل چهارم : رسانندگی الکترونها در نانوسیم نیمرسانا تحت اثر تابش الکترومغناطیسی —

(۴-۶۴)

حال برای اینکه بتوانیم عبارات دیفرانسیلی را به عبارات جبری تبدیل کنیم تبدیل فوریه عبارات فوق را انجام می دهیم .

(۴-۶۵)

عبارت فوق یک اتحاد جبری می باشد که برای بسط جمله $\sum_i e^{-iq \cdot R_i}$ از آن سود خواهیم برد .

(۴-۶۶)

(۴-۶۷)

(۴-۶۸)

(۴-۶۹)

(۴-۷۰)

(۴-۷۱)

(۴-۷۲)

فصل چهارم : رسانندگی الکترونها در نانوسیم نیمرسانا تحت اثر تابش الکترومغناطیسی —

(۴-۷۳)

(۴-۷۴)

(۴-۷۵)

(۴-۷۶)

(۴-۷۷)

اگر به رابطه ۶۰ توجه کنیم می بینیم که برای بدست آوردن چگالی حالات باید آنها داشته باشیم و بنابراین،

این مسئله را فقط با تقریب می توان حل کرد پس مسئله را اول بدون حضور میدان الکتریکی آزمون

(probe) حل کنیم و بعد میدان فوق الذکر را بصورت یک اختلال وارد مسئله کنیم ؛ پس اول فرض می-

کنیم که $E=0$ باشد . معادله (۴-۶۰) بصورت زیر در خواهد آمد :

(۴-۷۸)

رابطه عناصر ماتریس چگالی الکترونها حالت پایه و الکترونها در حضور میدان لیزری به شکل زیر

می باشد:

(۴-۷۹)

فصل چهارم : رسانندگی الکترونها در نانوسیم نیمرسانا تحت اثر تابش الکترومغناطیسی —

می دانیم که در تقریب فاز کاتوره ای داریم :

$$(4-80)$$

$$(4-81)$$

با اعمال تقریب فوق و استفاده از رابطه (4-79) و روابط تعامد ویژه توابع بسل و جمع زنی روی حالات

رابطه (4-78) به شکل زیر تبدیل می شود :

$$(4-82)$$

تعاریف زیر را داریم :

$$(4-83)$$

$$(4-84)$$

با جمع زنی روی حالات و استفاده از خاصیت تعامد ویژه توابع بسل به رابطه زیر می رسیم :

$$(4-85)$$

عناصر ماتریس چگالی در تقریب مرتبه اول الکترون با یون به شکل زیر می باشند :

فصل چهارم : رسانندگی الکترونها در نانوسیم نیمرسانا تحت اثر تابش الکترومغناطیسی —

(۴-۸۶)

حال میدان آزمون را روشن می کنیم ($E \neq 0$) با جاگذاری رابطه حاصل رابطه ۸۶ در رابطه ۶۰

تقریب مرتبه دوم عناصر ماتریس چگالی بصورت زیر می باشند :

(۴-۸۷)

برای بدست آوردن چگالی جمع زنی روی حالات را انجام می دهیم ؛

(۴-۸۸)

و مشابه حالت قبل تعریف زیر را داریم :

(۴-۸۹)

(۴-۹۰)

فصل چهارم : رسانندگی الکترونها در نانوسیم نیمرسانا تحت اثر تابش الکترومغناطیسی —
با جمع زنی روی حالات و استفاده از خاصیت تعامد ویژه توابع بسط به رابطه زیر می رسیم :

(۴-۹۱)

بسط فوریه تابع چگالی جریان را داریم :

(۴-۹۲)

با استفاده از روابط ۹۲ و ۹۱ و ۶۴ رابطه زیر را بدست می آوریم :

(۴-۹۳)

با استفاده از تعریف تابع چگالی الکترونی داریم :

(۴-۹۴)

با جایگذاری رابطه ۹۴ در رابطه ۹۳ به رابطه زیر می رسیم :

(۴-۹۵)

چگالی جریان کل بصورت زیر می باشد :

(۴-۹۶)

با جایگذاری رابطه ۹۵ در رابطه ۹۶ به رابطه زیر بدست می آید :

فصل چهارم : رسانندگی الکترونها در نانوسیم نیمرسانا تحت اثر تابش الکترومغناطیسی —

(۴-۹۷)

و در نهایت خواهیم داشت :

(۴-۹۸)

رابطه ۹۸ به شکل ساده زیر در می آید :

(۴-۹۹)

که در آن از تعریف زیر استفاده کرده ایم :

(۴-۱۰۰)

تبدیل فوریه پتانسیل کولنی در دو بعد

(۴-۱۰۱)

را در رابطه ۱۰۰ جاگذاری کرده و برای مقاصد بعدی به اصطلاح این رابطه را بی بعد^{۴۰۲} می کنیم :

فصل چهارم : رسانندگی الکترونها در نانوسیم نیمرسانا تحت اثر تابش الکترومغناطیسی

(۴-۱۰۲)

که در آن :

(۴-۱۰۳)

۴-۴ محاسبات عددی

برای بدست آوردن شکل صریح تابع رسانندگی بر حسب فرکانس لیزر اعمال شده و سایر پارامترها نیاز

است تا به محاسبات عددی متوسل شویم ، در قسمت قبل دیدیم که فرمول رسانندگی به شکل زیر بدست

می آید :

(۴-۹۹)

که در آن " I " عبارت است از :

(۴-۱۰۲)

و برای عبارات $D(q,m\omega)$ و $D(q,m\omega+\Omega)$ داریم :

(۴-۸۴)

(۴-۹۰)

فصل چهارم : رسانندگی الکترونها در نانوسیم نیمرسانا تحت اثر تابش الکترومغناطیسی ———
که در آن :

$$(4-101)$$

و برای Q ها داریم :

$$(4-83)$$

$$(4-89)$$

نیز دیدیم که اثرات عرضی به شکل جمله زیر ظهور پیدا می کنند :

$$(4-30)$$

که جمله آخری اشاره به توابع وابسته لاگور دارد . حاصل کار رابطه زیر را داریم :

$$(4-104)$$

فصل چهارم : رسانندگی الکترونها در نانوسیم نیمرسانا تحت اثر تابش الکترومغناطیسی —

که در قالب برنامه زیر به برآورد آن می پردازیم ، لازم به ذکر است که اول در قالب برنامه ویژوال بیسیک این برنامه نوشته و اجرا شد (source آن برنامه موجود است) ولی به دلیل ناکارآمدی آن این برنامه دوباره به زبان C# به تحریر درآمده و اجرا شد .

می دانیم در نخست باید به محاسبه عمل جمع زنی روی رابطه (۳۰) بر حسب n' انجام شود ، نیز بدلیل ماهیت مختلط بودن تابع انتگرالده نیاز است تا دو رشته محاسبات جداگانه در قالب برنامه برای دو جزء حقیقی و موهومی آن انجام شود ، پس از آن نوبت به جمع زنی روی متغیر های n و k_x می رسد ولی این جمع دوگانه در هم کوپل شده اند طوری که نمی توان آنها را از هم جدا کرد ، مسئله از این قرار است که مقدار انتگرالده اگر فقط k_x تغییر کند با توجه به تابع توزیع یا صفر است و یا یک می باشد بنا براین می توان عمل جمع زنی را با یک عمل انتگرال گیری روی بازه k_x جایگزین کرد و سپس عمل جمع زنی روی n را انجام داد .

حال نوبت به محاسبه Q ها و D ها می رسد ، با واردن کردن ضریب شامل جمله بسط عمل جمع زنی روی q ها و m را انجام می دهیم ، نتیجه حاصل $I(\omega, \Omega)$ خواهد بود ، حال تنها با یک تبدیل کسری σ بدست می آید ؛ باید توجه کرد که در تمام مراحل محاسبات عددی بدلیل ماهیت مختلط توابع به ناچار برای محاسبه هر تابع بناچار از دو تابع که یکی مسئول محاسبه بخش حقیقی و دیگری مجری محاسبه بخش موهومی آن بود نیز موقع محاسبه تابع جدید از توابع قبلی و برخورد با عملیات کسری باید تبدیلات لازمه جهت جداسازی قسمت های حقیقی و موهومی انجام می شد .

فصل چهارم : رسانندگی الکترونها در نانوسیم نیمرسانا تحت اثر تابش الکترومغناطیسی ——— محاسبات عددی / تقریبهای بکار رفته

ویژگی برنامه استفاده شده :

در ابتدای کار از روتین ویژوال بیسیک ۲۰۰۰ برای برنامه نویسی استفاده شد ، در RUN جزء به جزء برنامه و در قسمت محاسبه تابع آشنای بسل بعد از انجام دویست دور محاسبه ، همانطور که احتمال می رفت خطای درونی برنامه بنام " Roundoff Error " باعث غیر متعارف بودن جواب با واقعیت شد بدین منظور تصمیم گرفته شد از برنامه " C " برای این کار استفاده شود. با توجه به اینکه اغلب برنامه های شی گرا مشابه C و Fortran و از مشکلی بنام پر شدن حافظه در اثر ایجاد اشیا موقت و حذف نکردن آنها توسط روتین برنامه نوشته شده رنج برده و حتی برنامه نویسان حرفه ای نیز گهگاه با این معضل برخورد می کنند لذا برنامه C# [23,24,25] که بطور ذاتی خودبخود این مشکل را رفع می کند انتخاب شد اشیای ساخته شده توسط برنامه در این روتین برنامه نویسی بعد از مقدار دهی و خروج از زیر روال مربوطه بطور اتوماتیک حذف شده و باعث آزاد شدن حافظه اختصاص یافته برای آنها و افزایش قابل توجه سرعت اجرای برنامه خواهند شد نیز در آغاز زیرساخت " کنسول^{۳۴}" از این برنامه نویسی انتخاب شد، زیرساخت کنسول مشابه فرترن بوده و دارای فرم نمی باشد با توجه به زمان کم ریسک انتخاب روال های "SDI,MDI,Form" پذیرفتنی نبود ولی پس از آن که سرعت برنامه قابل قبول بود ترجیح داده شد برای اهداف بلند مدت کار برنامه نویسی در زیر روال :

"FormApplications" یا به اصطلاح همان زیر روال "فرم" دنبال شود. ویژوال سی شارپ برنامه شی گرا می باشد و بهتر است که ساختار برنامه نوشته شده در آن شی گرا باشد یعنی اینکه اولاً برنامه از بلوک های جداگانه ای تشکیل شده که هر کدام بطور مستقل قابل ویرایش و تغییر باشند و ویرایش آنها

فصل چهارم : رسانندگی الکترونها در نانوسیم نیمرسانا تحت اثر تابش الکترومغناطیسی —

باعث بهم ریختگی سایر قسمتها و کل برنامه نگردد و در ثانی برای اجرای برنامه باید نخست در قالب کلی برنامه "شی" تعریف شده / خلق شده / مقدار دهی شود . به منظور گریز از مواجه شدن با خطای ذاتی و مهم محاسبات عددی یعنی " Round off Error " و از طرف دیگر نیاز به دقت مضاعف این محاسبات و اعتبار بخشیدن به آنها از یک طرف تمام متغیرها بصورت "دقت مضاعف" تعریف شدند و از سوی دیگر تعداد جملات مورد نیاز برای محاسبه توابع فوق ، تا اطمینان از حصول دقت کافی وارد محاسبات گردیدند ، از طرف دیگر برای راحتی کار و بحث در نتایج ، با توجه به اینکه توانایی اجرای برنامه بالا بوده طوری که هیچ خللی در سرعت اجرای برنامه پیش نمی آید و خطای تولید شده در محاسبات عددی قابل کنترل بوده و ناچیز می باشد و نیز از قبل تدبیر لازم بصورت " بی بعد " نمودن فرمول توابع مورد محاسبه در برنامه بر حسب پارامترها انجام شده بود ، مقادیر ثوابت فیزیکی تعریف شده در دل برنامه و پارامترهای توابع بطور مستقیم بر حسب مقادیر آنها در سیستم "cgs" وارد برنامه شدند .

فصل چهارم : رسانندگی الکترونها در نانوسیم نیمرسانا تحت اثر تابش الکترومغناطیسی —

فصل پنجم

۵ - نتایج

۷۲	مقدمه	۵-۱
۷۳	نتایج	۵-۲
۷۷	بحث در نتیجه	۵-۳
۷۸	پیشنهاد برای ادامه کار بعدی	۵-۴

مقدمه

مطالعه اثرات تابش بر روی ویژگی های ترابرد الکترونی در سیم کوانتومی برای فهم فیزیک بنیادین ساختارهای کوانتومی و فیزیک قطعات مفید خواهد بود. دامنه و فرکانس میدان تابشی، ویژگی های ترابرد الکترونی ساختارها با خصوصیات کوانتومی را معین می کنند. از این رو در اینجا جذب تابش و تغییرات آن با تغییر دامنه و یا فرکانس میدان تابشی مورد بررسی قرار می گیرد.

نیز لازم است که در آخر نتایج بدست آمده با اثر قبلی [۱]، که صرفاً این پایان نامه بسط و توسعه آن در نانو ساختارهای تک بعدی بوده و فقط جنبه ترابرد الکترونیکی را مد نظر قرار داده، مقایسه شوند. حال که مقصود ما انجام محاسبات عددی می باشد تا نتایج نظری به چالش کشیده شده و مورد بررسی قرار گیرند، لذا اولین گام انتخاب نمونه پر کاربرد مد نظر می باشد که اولاً مقادیر پارامترهای اولیه برای جاگذاری در فرمولها برای آن از قبل کاملاً شناخته شده و مشخص باشند و نیز برای نتایج حاصل نظری مقادیر تجربی معادل در دسترس باشند و در آخر فیزیک ماده مورد مطالعه با فرضیات نظری در این رهیافت همراستا باشند. به این منظور "گالیم آرسناید" به عنوان کاندیدای مناسب انتخاب شده است. پارامترهای اولیه مورد استفاده در محاسبات عددی از مقادیر گزارش شده به شرح جدول زیر می باشند

[۱]، [۱۰]:

فصل پنجم : نتایج

جدول ۵-۱ : بعضی از مقادیر کمیت های فیزیکی مربوط به گالیم آرسناید در یک شبه ساختار دو بعدی

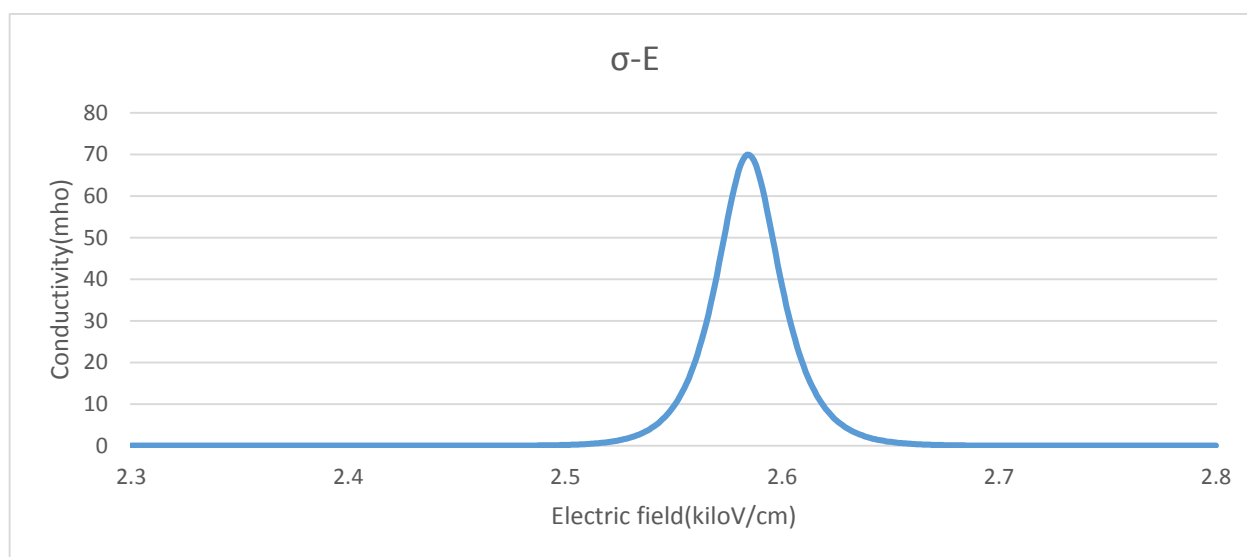
گالیم آرسناید (۱۰۰) ^{۳۵}	علامت	کمیت
۰/۰۶۷	m^*	جرم موثر
۲	g_s	واگنی اسپین
۱	g_v	واگنی مقدار
۱۳/۱	ϵ	ثابت دی الکتریک
۰/۲۸	$D(E)$	چگالی حالات
۱/۵۸	k_F	بردار موج فرمی
۲/۷	v_F	سرعت فرمی
۱۴	E_F	انرژی فرمی
۳۸-۰/۳۸	τ	زمان پراکندگی
۴۰	λ_F	طول موج فرمی
۱۰۰۰۰۰-۱۰۰	$\bar{\alpha}$	پویش آزاد میانگین

۵-۱ نتایج :

با جاگذاری مقادیر مربوط به گالیم آرسناید و انجام تقریب تا اولین همسایه نزدیک در محاسبه پارامتر وابسته به جمله عرضی و نیز تقریب مربوط به مدهای طولی با احتساب پنج جمله بسط در محاسبات ، مقدار دادن به پارامتر میدان الکتریکی نقطه ای در حدود سه کیلو ولت بر سانتیمتر و جمع زنی روی الکترونها با بردار موج طولی از صفر تا هفتاد درصد طول بردار موج فرمی و جمع زنی روی الکترونها با بردار موج صفر الی سی درصد طول بردار موج فرمی انجام پذیرفت و مقادیر فرکانس لیزر و فرکانس آزمون در حدود یک ترا هرتز اختیار گردیدند ، چنانکه برای رسم منحنی به یکی از

فصل پنجم : نتایج

سه پارامتر میدان الکتریکی نقطه ای ، فرکانس لیزر و یا فرکانس آزمون به عنوان متغیر در نظر گرفته شدند و مقدار ترابرد برای بازه ای از مقادیر مختلف جهت بررسی های خاص محاسبه و منحنی مربوطه رسم گردید. ذکر این نکته لازم است که رایانه مورد استفاده از نوع نوت بوک با پردازنده چهار هسته ای ، سرعت سی پی یو ۲/۲ گیگا هرتز و رم شش گیگا بایتی و سیستم ۶۴ بیتی، زمان پردازش و استخراج اطلاعات در هر دوره حدود ده دقیقه برآورد شد . حال نتایج بدست آمده به شرح زیر می باشند .



شکل (۵-۱) نمودار تغییرات رسانش بر حسب دامنه میدان الکتریکی آزمون در جذب تابشی با دامنه ثابت و فرکانس متغیر

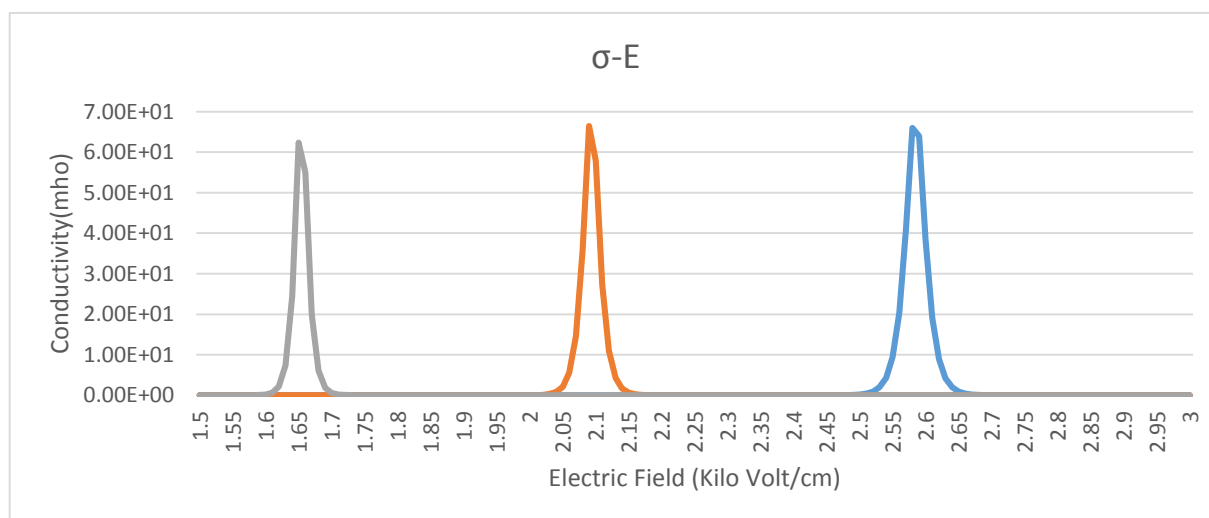
شکل (۵-۱) نمایانگر بروز تشدید در جذب تابشی با دامنه ثابت و فرکانس متغیر است. مشاهده می شود که با افزایش فرکانس تابش ، ابتدا جذب افزایش یافته و سپس کاهش می یابد. این شکل از تغییرات تحت عنوان پراکندگی تشدید نیز شناخته می شود .

مهمترین عامل در کاهش میزان جذب، کاهش و یا توقف پراکندگی های الکترون – الکترون بوده و عامل

فصل پنجم : نتایج

اصلی در افزایش میزان جذب جفت شدگی غیر خطی بین تابش و الکترون ها است . این جفت شدگی

موجب گرم شدن الکترونها و بنابراین تقویت پراکندگی های الکترون – یون می باشد .

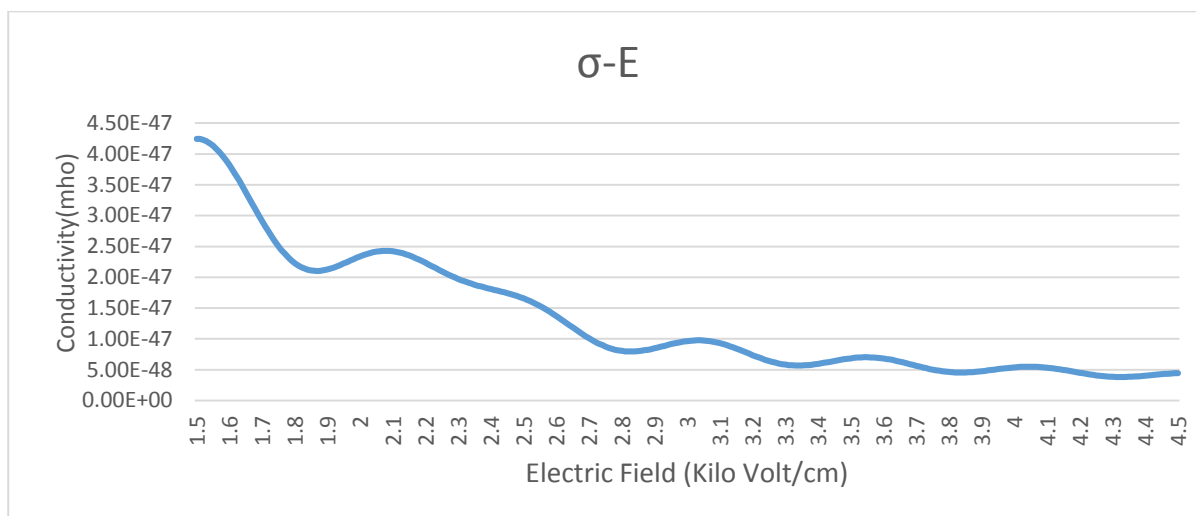


شکل (۵-۲) تغییر در محل و ارتفاع قله تشدید در جذب با تغییر در فرکانس میدان آزمون

شکل (۵-۲) نحوه تغییر در محل و ارتفاع قله تشدید در جذب را با تغییر در فرکانس میدان آزمون نمایش

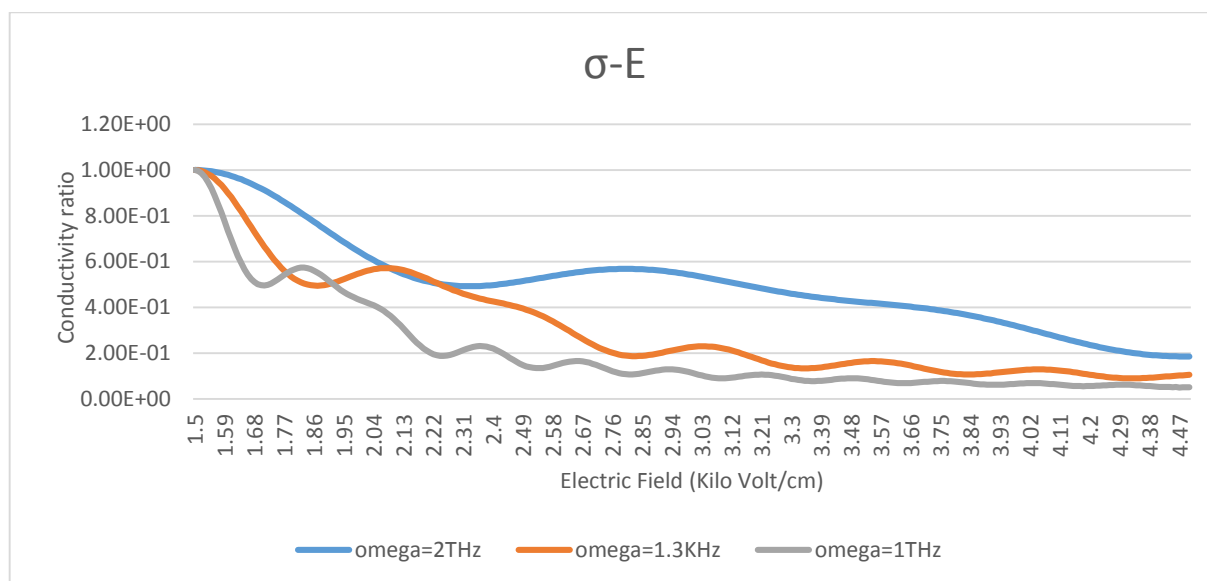
می دهد. مشاهده می شود که با کاهش فرکانس میدان آزمون محل بیشینه (قله) جذب به فرکانس های

پایین تر جابجا شده ، ارتفاع قله جذب کاهش می یابد .



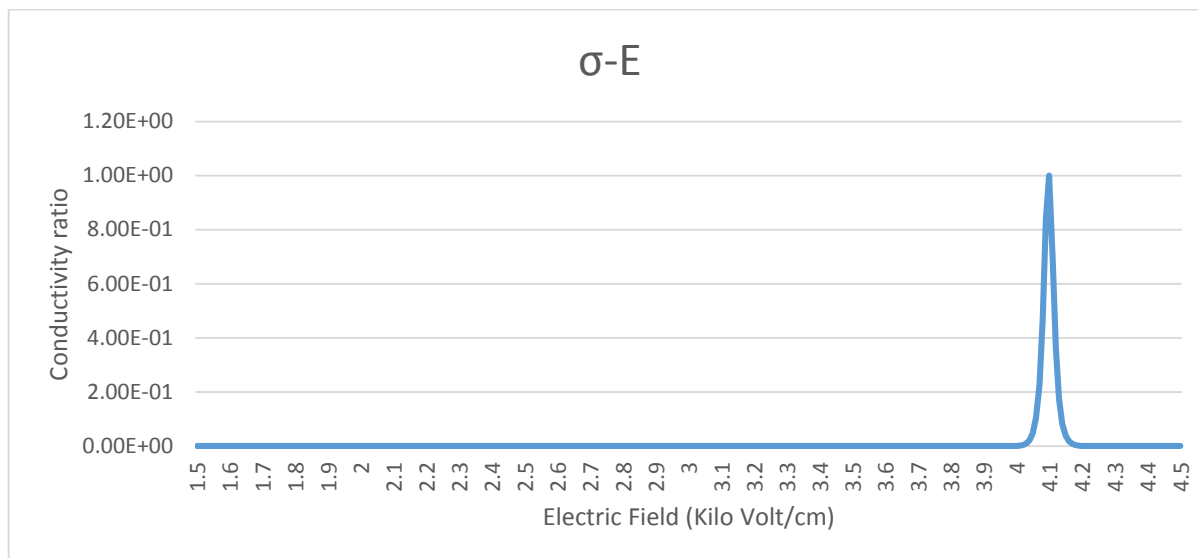
شکل (۵-۳) وابستگی میزان جذب تابش به دامنه میدان تابشی

شکل (۵-۳) نحوه تغییرات جذب تابش را با دامنه میدان تابشی نشان می دهد . شکل نمایانگر حالات تشدیدی چند تایی در جذب تابش است . بسته به برآیند اثر دامنه میدان تابشی و جفت شدگی های خطی بین الکترونها و تابش که سهم فرآیند های جذب و گسیل چند فوتونی کنار نواری رادرجذب کلی مشخص می نماید و حالت های الکترونی شبه مقید ناشی از حضور یون های جاذب ناخالصی، و با توجه به محدودیت فضایی و تغییر در چگالی حالتها که توسط پتانسیل محدود کننده عرضی ایجاد می شود ، نوسانات فوق در جذب تابش مشاهده می شود .



شکل (۴-۵) مقایسه نحوه تغییرات جذب با دامنه تابش در فرکانس های متفاوت

شکل (۴-۵) به مقایسه نحوه تغییرات جذب با دامنه تابش در فرکانس های متفاوت می پردازد. مشاهده می شود که با کاهش فرکانس تابش (تعداد بیشینه ها و کمینه ها) در بازه افزایش یافته و قله ها و دره های جذب جابجا شده اند.



شکل (۵-۵) اثر جذب تابش با دامنه بزرگ در ترابرد الکترونی

شکل (۵-۵) نحوه جذب تابش با دامنه بزرگ را نشان می دهد. با افزایش چشمگیر دامنه میدان تابش و بنا

براین سهم آن در جذب در مقایسه با اثرات پتانسیل یونی ، یک حالت تشدید کامل و واضح بوجود می-

آید . می توان دلیل این امر را جفت شدگی شدید الکترون و تابش و بنابراین افزایش چشمگیر نرخ

پراکندگی ها دانست.

۵-۲ بحث در نتیجه :

می دانیم عوامل موثر در ترابرد الکترونی ، پراکندگی الکترون – الکترون ، جذب تابش توسط الکترونها

، پراکندگی الکترون – یون ناخالصی ، شکل تابع چگالی حالات الکترونی در نانوسیم ها می باشند .

در این تحقیق مهمترین پدیده مشاهده شده پراکندگی تشدید بود ، مشاهده گردید که در شکل (۵-۱) با

وجود ثابت نگه داشتن دامنه تابش ، به ازای تغییر در فرکانس تابش ، پراکندگی تشدید چند تایی مشاهده

می شود که بسته به برآیند اثر دامنه میدان تابشی و جفت شدگی های خطی بین الکترونها و تابش که سهم

فصل پنجم : نتایج

فرآیند های جذب و گسیل چند فوتونی کنار نواری رادر جذب کلی مشخص می نماید و حالت های الکترونی شبه مقید ناشی از حضور یون های جاذب ناخالصی ، و با توجه به محدودیت فضایی و تغییر در چگالی حالتها که توسط پتانسیل محدود کننده عرضی ایجاد می شود ، نوسانات فوق در جذب تابش مشاهده می-شود . نیز زمانیکه فرکانس میدان آزمون از فرکانس لیزر بالاتر رفت یک تشدید تک قله ای با شدت خیلی زیاد رخ می دهد که تاکنون چنین موضوعی در مقالات مشابه گزارش نشده است همچنین توانستیم به بررسی اثر میدان الکتریکی ناشی از ولتاژ آزمون اعمالی به دو سر قطعه را مورد بررسی قرار دهیم ، بدین ترتیب که با اختصاص مقادیر مختلف به فرکانس لیزر و فرکانس میدان آزمون تغییر در دامنه تراپرد را در اثر تغییر در شدت میدان الکتریکی ثبت کنیم و مشاهده شد که با ثابت نگه داشتن فرکانس میدان آزمون و انتخاب مقادیر مختلف افزایشی به فرکانس لیزر اعمالی قله تشدید به سمت ولتاژهای پائین سوق پیدا می کند .

۵-۳ پیشنهاد برای ادامه کار بعدی :

در طی محاسبات عددی دما تقریباً صفر مطلق و تابع توزیع فرمی-دیراک به شکل تابع پله ای منظور شده است. به جهت دستیابی به نتیجه ای با تطابق بیشتر به واقعیت می توان از توزیع فرمی دیراک در دماهای بالاتر استفاده کرده و محدوده بررسی را به دماهای عادی رساند. نیز می توان اثرات حائل سازی الکترونها را بر روی بار یونها ناخالصی را با تغییر در شکل پتانسیل اعمالی مختص یونها ناخالصی مورد نظر قرار داد. همچنین می توان به بررسی سایر اثرات اپتو الکتریکی در نمونه تحت تابش و بررسی پارامتر های مربوطه پرداخت.

پیوست ها

نوسانگر هماهنگ [26]

هامیلتونی با "پتانسیل نوسانی" زیر را در نظر می گیریم :

(۱- م)

شکل صریح معادله شرودینگر به صورت زیر خواهد بود ،

(۲- م)

پارامتر "فرکانس نوسان" به صورت زیر را تعریف می کنیم :

(۳- م)

و تغییر متغیر زیر را انجام می دهیم ،

(۴- م)

نیز جواب فرضی را به دو بخش تجزیه می کنیم :

(۵- م)

بعد از این تغییرات شکل معادله شرودینگر به صورت زیر در خواهد آمد :

(۶-م)

که در آن :

(۷-م)

فرض می کنیم جوابه بصورت چند جمله ای های جبری باشند :

(۸-م)

با جایگذاری جواب فرضی در معادله دیفرانسیل بالا به رابطه زیر می رسیم :

(۹-م)

شرط اینکه چند جمله ای واگرا نباشد باید داشته باشیم :

(۱۰-م)

بنا بر این رابطه بازگشتی زیر در بین ضرایب برقرار خواهد بود .

(۱۱-م)

مراجع

- 1 Electronic Properties of Semiconductor nanostructures under terahertz radiation–
Saeid Hessami-Pilehrood-Wollongang University-2006-Library of Wollongang
University / Sydney/Australia
- ۲ جهان کوانتومی نوین-تونی هی-محمد رضا محبوب-شرکت سهامی انتشار-۱۳۸۶/۹۷۸-۹۶۴-۳۲۵-
۰-۲۰۹
- ۳ مقدمه ای بر نانو فناوری "چارلز بی پول / نیما تقوی نیا/موسسه انتشارات علمی دانشگاه صنعتی شریف/
شاپک-۵-۹۵-۷۹۸۲-۹۶۴-۹۷۸
- 4 Introduction To Nanoscience / Gabor L.Harnyak et al. /ISBN 978-I-4200-4805-6
/CRC Press
- ۵ فیزیک و تکنولوژی قطعات نیمرسانا \ اس ام زی \ محمد حسینی \ آستان قدس دانشگاه امام رضا \
۱۳۷۵
- ۶ مقدمه ای بر نانو فن آوری /رامین رحمانی اهرنجانی/شاپک : ۰-۳۴-۵۱۰۷-۶۰۰-۹۷۸
- 7 Electronic Transport in Mesoscopic Systems-Datta Suppriyo-Cambridge Uni.
Press,1999/0521 41604 3,pages Data pages 17-22,17-19,R-1-3-1
- 8 Quantum Wells ,Wires and Dots-Harrison Paul-Jon Willey&sons Ltd.-2005/978-
0-470-0179-2
- 9 Quantum Transport- Galperin Y.M.-Lund Uni.-1998-yurig@teorfys.lu.se
- 10 Quantum Transport in Semiconductor Nanostructures-Beenakker C.W.J.-Solid
State Physics 44,1-228(1991)
- ۱۱ فیزیک ماده چگال-نیل اشکرافت-خانلری محدرضا-دانش نگار-۱۳۸۷/۹۷۸-۶۹۴-۲۹۲۷-۳-۲۰-
- 12 [Kadanoff, L. P.](#) (2009). "More is the Same; Phase Transitions and Mean Field
Theories". *Journal of Statistical Physics* 137 (5–6): 777–797. [arXiv:0906.0653](#).
[Bibcode:2009JSP ...137..777K](#). [doi:10.1007/s10955-009-9814-1](#). [edit](#)

- 13 [Weiss,Pierre\(1907\). "L'hypothèse,du champ moléculaire et la propriété ferromagnéti-que". *J. Phys. Theor. Appl.* 6 \(1\): 661–690.](#)
- 14 Boudec,J.Y.L.;McDonald,D.;Munding, J. (2007). ["A Generic Mean Field Convergence Result for Systems of Interacting Objects". *Fourth International Conference on the Quantitative Evaluation of Systems \(QEST 2007\)*. p. 3.](#)

[doi:10.1109/QEST.2007.8. ISBN 0-7695-2883-X. edit](#)

- 15 Baccelli, F.; Karpelevich, F. I.; Kelbert, M. Y.; Puhalskii, A. A.; Rybko, A. N.; Suhov, Y. M. (1992). "A mean-field limit for a class of queueing networks". *Journal of Statistical Physics* 66 (3–4): 803. [Bibcode:1992JSP....66..803B. doi:10.1007/BF01055703. edit](#)
- 16 Lasry, J. M.; [Lions, P. L.](#) (2007). "Mean field games". *Japanese Journal of Mathematics* 2: 229. [doi:10.1007/s11537-007-0657-8. edit](#)
- 17 Chaikin, P. M.; Lubensky, T. C. (2007). *Principles of condensed matter physics* (4th print ed.). Cambridge: Cambridge University Press. [ISBN 978-0-521-79450-3.](#)
- 18 HE Stanley (1971). "Mean field theory of magnetic phase transitions". *Introduction to phase transitions and critical phenomena*. Oxford University Press. [ISBN 0-19-505316-8.](#)

۱۹ نانو تکنولوژی-کانانگارا-جعفر وطن خواه دولت سرا-نشر طراح-۱۳۸۶/۹۶۴-۷۰۸۹-۳-۶۴-۲۰
۲۰ مکانیک آماری-پتیریا ر.ک.-میرزایی علی اکبر-انتشارات علمی فرهنگ-۱۳۸۸/۹۷۸-۹۶۴-۶۲۱۵-

۱-۴۸

21 Many Particle Physics-Mahan G.D.-Plenum Press-1990/QC 176.M24

22 Quantum Kinetics in Transport and Optics of Semiconductors ,Hartmut Haug
,Antti-Pekka Jauho ,Springer 1997,ISBN 12081660

۲۳ چگونه با C# برنامه نویسی کنیم- دیتل & دیتل- پروین صفاحی- شرکت ناقوس اندیشه- ۹۷۸/۱۳۸۶-
۶-۲۴-۲۸۷۸-۹۶۴

۲۴ آموزش برنامه نویسی Visual C#.NET 2005 - هاشمیان سید محمد- ۱۳۸۷- انتشارات صفار-
اشراقی/۹۷۸-۹۶۴-۳۸۸-۱۴۸-۱

۲۵ مرجع کامل برنامه نویسی C#.NET - دیتل هاروی- موسسه فنی هنری دیباگران تهران- ۹۶۴/۱۳۸۶-
۲-۴۱۹-۳۵۴-۹۶۴ و ۴-۴۱۸-۳۵۴

26 Quantum Physics-Stephen Gasiorowicz-John Willey/QC174.12.G37

Abstract

The electromagnetic absorption of a quantum-well wire which has been illuminated by Terahertz laser field has been investigated theoretically. By calculating the exact time-dependent electronic states and determining the time evolution of single electron density matrix of the system, the contribution of electron-photon interactions to the electrical current has been obtained. At the end, numerical computations have been performed for a GaAs quantum-well wire and the achieved results have been studied.

Keywords

Nanowires - Quantum Well - Electromagnetic Absorption – GaAs –

Density Matrix – Terahertz Laser Field – Quantization Effects

Contents

Contents

1-1	Figures	List
	ت
1-2	Table List	ث
1-3	Preface	2
2	Semiconductors Nanostructures	
2-1	Semiconductors	
2-2	Semiconductors in Low Dimensions	
2-3	Electronical Properties of semiconductors	
3	Theoretical aspects of illuminiscens absorption in semiconductors	
3-1	Some methos of computation of conductivity in semiconductors	
3-2	Density Matrix Methods	
4	Conductivity of electrons in seminconductor nanowires under terahertz radiation	
4-1	Getting of electron states of the wave function	
4-2	Density Matrix	
4-3	Conductivity	
4-4	Numerical Computations	
5	Results	
5-1	Preface	
5-2	Results	
5-3	Discussion in Results	
5-4	Propsed for the next steps of this research	
	Refrences	
	Enclosed	



Shahrood University of Technology

School of Physics

Master of Science Thesis In

Nano Physics

**Electronic Transport in a Quantum Wire under
Electromagnetic Radiation**

Behzad Karimmaslak

Supervisor:

Dr. Saeid Hesami Pilehrood

February 2014

